

621.43
мн. №1
Г138
мн. № 1335.

МИНИСТЕРСТВО АВТОМОБИЛЬНОЙ и ТРАКТОРНОЙ
ПРОМЫШЛЕННОСТИ СССР

НАТИ

Шиб-1203

ГАЗОГЕНЕРАТОР ДЛЯ ТОЩИХ
ТОПЛИВ

1062

Московский
Технический Институт

1949

МИНИСТЕРСТВО АВТОМОБИЛЬНОЙ И ТРАКТОРНОЙ ПРОМЫШЛЕННОСТИ СССР
ГОСУДАРСТВЕННЫЙ СОВЕТНИКИ НАУЧНО-ИССЛЕДОВАТЕЛЬСКИЙ
ТРАКТОРНЫЙ ИНСТИТУТ М.

"ИАТН"

Оддел Газогенераторных
тракторов

Газогенераторная лаборатория.

ГАЗОГЕНЕРАТОР ДЛЯ ТОПЛИВ ГОЛУБЫХ

Государственная СССР
Научно-Техническая
БИБЛИОТЕКА

ДИРЕКТОР ИАТН

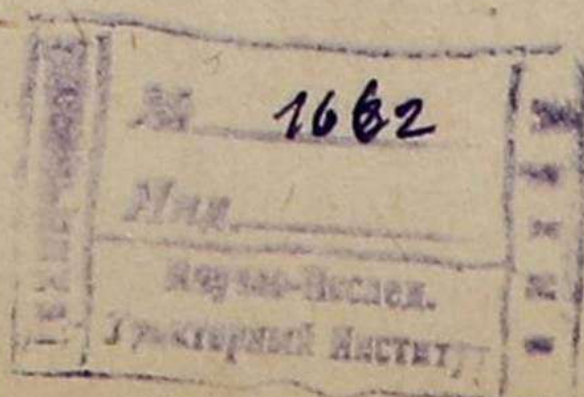
доктор. /Д. БУРОВ/

Зам. ДИРЕКТОРА
по научн. работе

с. Аксенов
/С. Аксенов/

Москва, декабрь.

1949 год.



ГУО. ПУБЛИЧНАЯ
НАУЧНО-ТЕХНИЧЕСКАЯ
БИБЛИОТЕКА ССОР

5927 11
66 621.43
Г 138

ЭС
13339

А Н Н О Т А Ц И Я.

В отчете освещены результаты работ по регулированию пароводяным смеси в трансформаторном газогенераторе прямого процесса для тонких топлив /полукокса и древесного угля/, и по увеличению продолжительности работы газогенератора без очистки его от шлака.

На основании проведенных работ создан опытный образец газогенератора для трансформатора СХТЗ-ЧАТИ.

ОГЛАВЛЕНИЕ

стр.

I. Введение	1
II. Условия и методика испытания	3
III. Влияние топлива на мощность двигателя . .	6
IV. Регулирование паровоздушной смеси . .	15
V. Работы по золо- и шлакоудалению	29
1. Колосниковая решетка барабанного типа	29
2. Плоская колосниковая решетка с под- вешенными колосниками	33
VI. Опытный образец газогенератора для топлив тонких золлиев	38
VII. Пуск двигателя и разезд газогенератора	43
VIII. Выводы и заключение	51-52.

ГАЗОГЕНЕРАТОРНАЯ УСТАНОВКА ДЛЯ ТОВАРЫХ ТОПЛИВ.

1. ВВЕДЕНИЕ.

В 1948 году были проведены 500 часовые испытания трактора СХТЗ-ПАТИ с газогенераторной установкой УГ1 из Журиńskом подуконсе. При этих испытаниях на релье с положительными показателями / мощность, продолжительность работы на одной загрузке, приемистость и устойчивость процесса газификации / были обнаружены недостатки, над устранением которых проводились работы в 1949 году.

К основным недостаткам относились:

1/ повышенный общий расход воды для газификации, доходивший до 75-80% от расхода твердого топлива/подуконса/, при чем значительное количество воды терялось в виде пара в атмосферу,

2/ недостаточное удаление шлама из шахты газогенератора используемыми полосатовыми решетками. Было установлено, также, что сварная конструкция борбенной возвратной решетки имеет ограниченный срок службы не превышающий 180 часов работы газогенератора,

3/ повышенный износ всасывающих и выпускных клапанов и их гнезд в головке двигателя, вследствие недостаточной очистки газа.

Кроме того имели место и другие небольшие дефекты конструкции газогенераторной установки /ломким компенсаторов, затруднения с заправкой водой в полевых условиях, закорачивание иглы поплавковой камеры, повышенное сопротивление цепей поплавков и другое.

—5—

Работы по устранению указанных недостатков проводились по трем направлениям: 1. По доведению расхода воды по 30-35% от расхода твердого топлива, были проведены вследствительские работы с различными способами регулирования производящей смеси. 2. По увеличению продолжительности работы газогенератора без его разгрузки, путем увеличения объема активной зоны камеры Газификации для работы без удаления шлака, и путем совершенствования конструкции поворотной барабанной решетки для удаления шлака из активной зоны.

Для проведения работ в этих направлениях были реконструированы два газогенератора ЯГ1, при чем в одном из них было заменено колосниковую решетку и увеличена высота активного слоя, а в другом было установлена поворотная барабанская решетка новой конструкции.

Более подробное описание конструкции измененных узлов дается ниже.

3. По улучшению очистки газа от пыли с использованием более совершенной конструкции циклона и применения орошения насадки в тканом фильтре отработанным молоком. Подъем орошающей жидкости был осуществлен по способу Эрикса. Эти работы проводились лабораторией Газоочистки и в настоящем отчете не описаны.

Данный отчет охватывает только работы по регулированию производящей смеси и по увеличению продолжительности работы газогенератора без его разгрузки. Указанные работы проводились на подукаже, древесном угле и антраците.

П. УСЛОВИЯ И МЕТОДИКА ИСПЫТАНИЙ.

Исследование процессов регулирования парогенераторной системы, изучение влияния расхода воды подаваемой в камере газификации, а также шагонаполнения в газогенераторе на изменение качества генераторного газа и соответственно мощности двигателя проводились на двигателе, установленном на тракторе. Мощность двигателя определялась на шкиве трактора. Нагрузка осуществлялась ленточным тормозом НАТИ. Усилие на плече тормоза замерялось по масляному манометру или по циферблатным весам. В обоих случаях регистрируемые приборы парировались.

Число оборотов двигателя определялось по числу оборотов шкива ручным тахометром, принимая передаточное число равным 2,88.

Мощность двигателя определялась по формуле

$$N_e = \frac{P \cdot n}{458}$$

где P - есть усилие на плече тормоза в кг.

n - число оборотов шкива

$$\frac{1}{458} - \text{коэффициент} = \frac{716,2}{\ell \cdot \eta}$$

где ℓ - длина плеча тормоза = 1,615 м

η - е.п.д. передачи = 0,97.

Замеренная мощность двигателя приводилась в нормальные условия огруженной среды /15°C и 760 м.м.р.т./ согласно ГОСТ 491-41 по формуле $N_e = N_{e_1} \frac{760}{B} \cdot \frac{530+t}{545}$

где B - барометрическое давление в ми. р.с.
 t - температура окружающего воздуха в $^{\circ}\text{С.}$

Общий расход воды, поступающей в пароводяную рубашку газогенератора определялся по водомерному стеклу, установленному на водяном баке генератора с предварительной измеркой его шкалы. Расход воды поступающей в шахту газогенератора определялся по разности между общим расходом и количеством воды, полученной при конденсации водяного пара, выходящего из рубашки, в специальном паровом конденсаторе с водяным охлаждением. В паровом конденсаторе давление не превышало атмосферного.

Расход топлива определялся по дногрузкам бункера газогенератора за время выкида топлива. Перед весыской в газогенератор топливо взвешивалось.

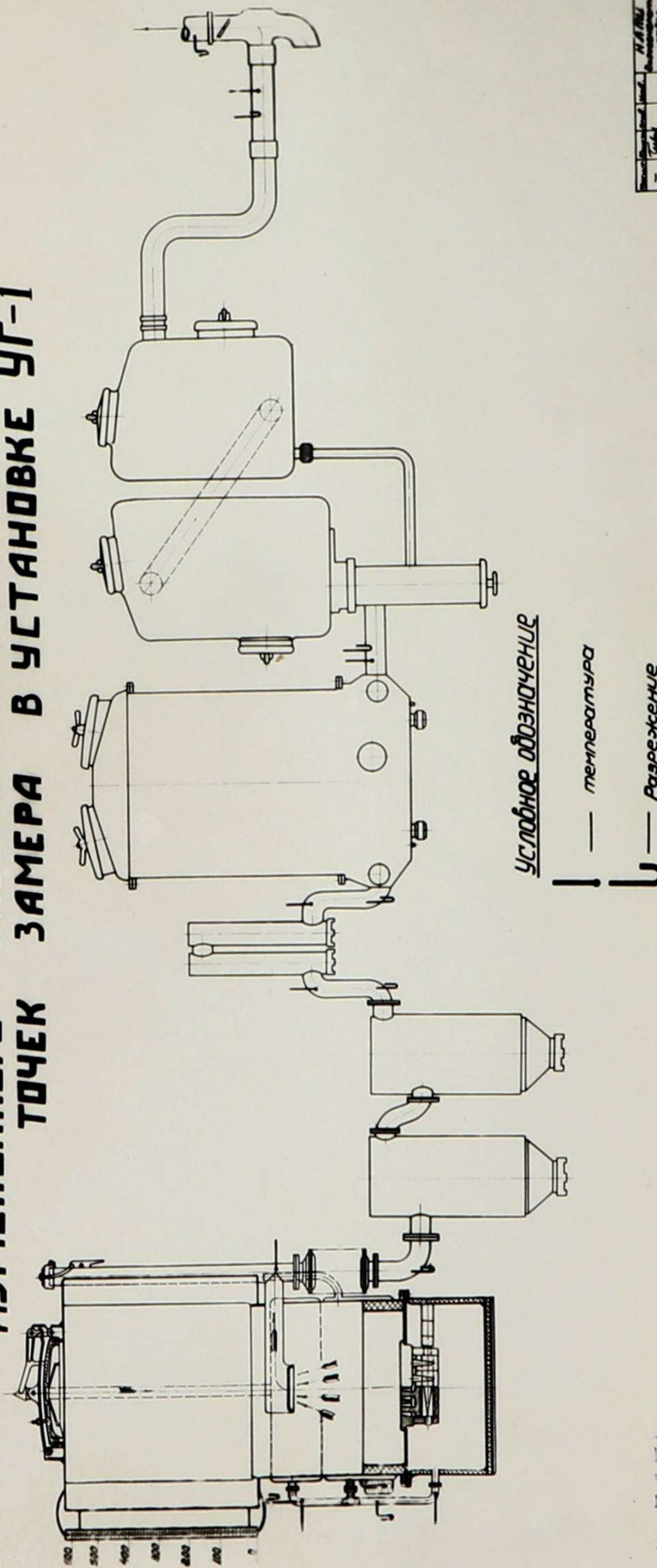
Разрежения определялись ртутными к водяному пьезометрами, а температуры ртутными термометрами. Места замеров указаны на фиг. I.

Все испытания проводились на одном и том же двигателе, который был до испытания отремонтирован и обкатан. В двигателе верхние поршневые кольца были установлены хромированные. Близины были притерты и поверхны на плотность прилегания по проницаемости керосина.

Показок объема камера сжатия в цилиндрах двигателя средняя степень сжатия определена равной $-7,9.$

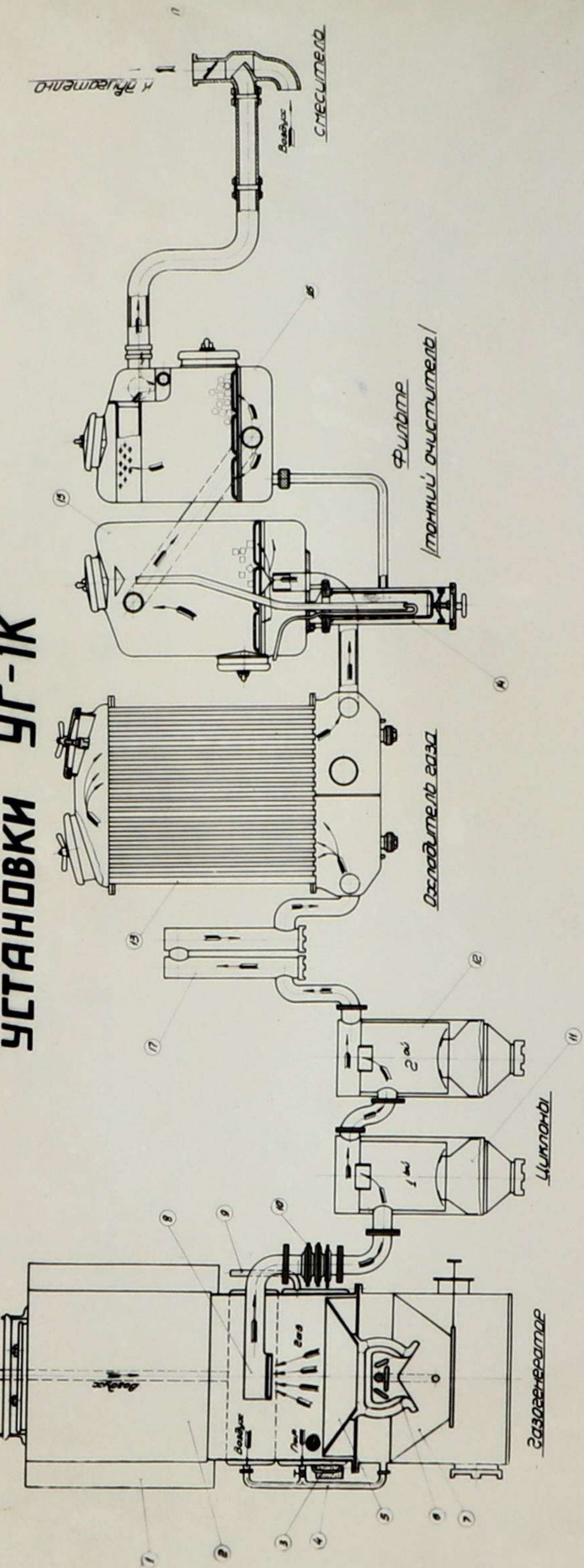
СХЕМА

**ИЗМЕНЕННОГО ГАЗОГЕНЕРАТОРА С УКАЗАНИЕМ
ЗАМЕРА В ЧУСТАНОВКЕ УГ-1
ТРЧЕК**



Н.Л. Схема изменимого газогенератора с износом редуктора в
поплавковой полосе измерения с указанием точек замера.

СХЕМА ГАЗОГЕНЕРАТОРНОЙ УСТАНОВКИ УГ-1К



14-5050

Ил. 2. Схема газогенераторной установки с приспособлением
для обработки пылевых выбросов.

Во всех проводимых опытах на продолжительность работы газогенератора число оборотов поддерживалось постоянным равным 1250 об/мин. путем изменения нагрузки на тормоза, при чем нагрузка устанавливалась максимальной. Опережение зажигания и регулировка воздуха устанавливались нейтральными.

При построении графиков по продолжительности приведенные в них средние показатели за час / мощность, расход воды, температура и давление/ определены как средние из 6-ти замеров через 10 минут.

Газогенераторная установка перед началом опытов очищалась в целях получения сравнимых результатов.

Все испытания изменения газогенераторов проводились системой очистки УГ-1, состоящей из 2-х последовательно соединенных циркония, 2-х дополнительных охладителей, двухходового радиатора охладителя и измененного фильтра тонкой очистки газа. Схема установки приведена на фиг. 2.

Двигатель изменения не подвергался и соответствовал конструкции АБ.

На двигателе было установлено магнито СС4 и свечи ТС4. Трактор с газогенераторной установкой и тормозным стакном были установлены на площадке НАТИ. За период испытаний температура отгружающего воздуха колебалась от минус -3 до + 36°С.

Испытания топлива на коксость генераторов.

Испытания износостойких генераторов произошли на трех видах тонких топлив: каменноугольном полукоске, древесном угле и антрацените.

1. Полукокс.

Основные испытания проводились на Куринском полукошеском заводе № 1 Газогенераторного Института Народной промышленности.

Полукокс был получен тремя партиями. Первая партия рифового полукоска была получена с завода в конце 1948 года, вторая партия была завезена с Московского Северного Порта в июне 1949 года. Последняя партия промышленного полукоска была получена с завода в августе 1949 года в количестве 27,8 тонн, на котором и были проведены все сравнительные испытания износостойких генераторов.

Характеристика полукоска по данным завода приводится в таблице № 1.

Таблица № 1.

Анализ полукоска по данным заводских паспортов.

№ пакета партии для ана- лиза.	Размер кусков в мм	Влажно- сть W ^р в %	Водоно- сть Ac в %	Содержание в %		
				Легу- чих из горю- чих	Серы на сухую	Мало- чи до 10мм
II	10-40	11,0-14,8	7,2-9,0	8,6-7,3	0,1-0,3	2-5
III	10-40	22,8	4,1	4,5	0,2	0,4

В связи с тем, что полуоконе I и II партии подвергались при перевозках несольким перевозкам, а также хранились они под открытым небом в условиях дождливого лета 1949 года, содержание жироциса в нем возросло до 10%, а влажность его увеличилась до 32%, что значительно превышает нормы ГОСТа № 4597-49г. Полуоконе II партии были получены в НАТИ также с повышенной влажностью и повышенным содержанием жироциса в нем.

Поэтому полученный полуоконе перед проведением испытаний подвергался сортировке и сушки.

Подсушка полуоконца производилась в специальной сушильне высокими газами двигателя при температуре не выше 150°С. Отсевание жироциса производилось через сито 10 x 10 мм.

Годные анализы полуоконца приводятся в таблице 2.

Таблица № 2.

Технический анализ полуоконца, приспособленного за время испытаний.

На какой партии полуоконца была произведена	Размер кусков, в мм	Влажность W ^P в %	Сольность A ^c в %	Легучие вещества V ^G в %
I.	10-40	6,8-10,7	8,2-5,9	8,37
II.	10-40	7,8-11,5	2,4-9,3	
III	10-40	4,3-31,4	3,13-6,6	-

$A^c = 4,7$ средняя (газогенератора с плоской решеткой).

Данные анализов полуоконса по данным испытаний приведены в таблице № 12 /см. приложение/, а по газогенератору с ново-ротной барабанной решеткой в таблице № 13.

На основании проведенных опытов с различными влажностями полуоконса из фиг. 3 производится приказ на зависимость мощности двигателя в зависимости от влажности, температуры. Из приводимо, что с повышением влажности полуоконса, мощность двигателя значительно падает. Это явление объясняется тем, что при газификации полуоконса по прямому процессу прокурки сухой перегонки в полном пар, образующийся в зоне подсушки, смешивается непосредственно с горячими газами и обесцвечивает его состав. И чем больше имеется влаги в топливе, тем беднее становится газ.

Проведенными испытаниями газогенераторов с изолированной первоначальной рубашкой при оптимальной подаче воды установлено, что на полуоконсе с влажностью $W^P = 5,5$ и $13,6\%$ средняя мощность двигателя МГ в течение первых 8-х часов работы газогенератора составляет 47,5 л.с.

Полученные результаты приводятся на фиг. 4 и 13. Как видно из приведенных на 2 и 3 часах испытаний, после часовового прогрева, достигается максимальная мощность на полуоконсе с влажностью $W^P = 5,5\%$ в 49 л.с. и при влажности $W^P = 13,6\%$ максимальная мощность составила 43 л.с.

При влажности полуоконса $W^P = 13,6\%$ и $31,4\%$ мощность двигателя снижается на 14-15% по отношению к гарантированной /45 л.с./. Чем подтверждается необходимость употреблять для газогенераторов сухой полуоконс с влажностью в пределах норм установленных ГОСТ'ом.

Следует отнести, что для тракторных газогенераторов при напряженном режиме работы, перерабатывающих за 20 часов до 500 кг полукокса предельное содержание золы

$A^c = 8\%$ по ГОСТ"у 4597-49 является очень высоким. Испытания показывают, что при зольности $A^c = 4,1\%$ получаются положительные результаты. Необходима проверка работы газогенераторов на промытом полукоксе при $A^c = 8\%$.

При хранении полукокса в течение 3-х месяцев в закрытом проветриваемом помещении, влажность его снизилась до 13-14% и была только на 4-5% выше норм ГОСТ"а. При такой влажности подсушка его не произошла.

По условиям хранения полукокс, доставленный в крытых вагонах на ж.д. станцию, подвергался трем перевалкам при доставке на базисный склад и трем перевалкам на промежуточный склад мелкими партиями. Отгруженный полукокс по данным паспорта завода по содержанию мелочи в нем находился в пределах норм ГОСТ"а, а при проведенных рассеях в НАТИ, перед загрузкой в газогенератор, содержание мелочи в нем превысило нормы ГОСТ"а на 9,5 %. Это обстоятельство, которое может иметь место и при эксплуатации газогенераторных тракторов, указывает на необходимость бережного отношения к полукоксу, как к топливу для тракторов, во избежание дополнительных затрат на отсев мелочи перед загрузкой в газогенераторы.

Древесный уголь.

При испытаниях применялся древесный уголь ретортного выжига производства Славского Лесхимкомбината Горь-

ковской области.

Перед загрузкой в газогенератор древесный уголь подвергался дробление и сортировке до размеров 21-40 мм и для одного опыта до размера 10-20 мм (см. фиг. 5 и 6). Древесный уголь обладал довольно высокой механической прочностью и имел в изломе блестящую сухую поверхность.

Анализ подготовленного древесного угля по данным испытаний приводится в таблице № 3.

Таблица № 3.

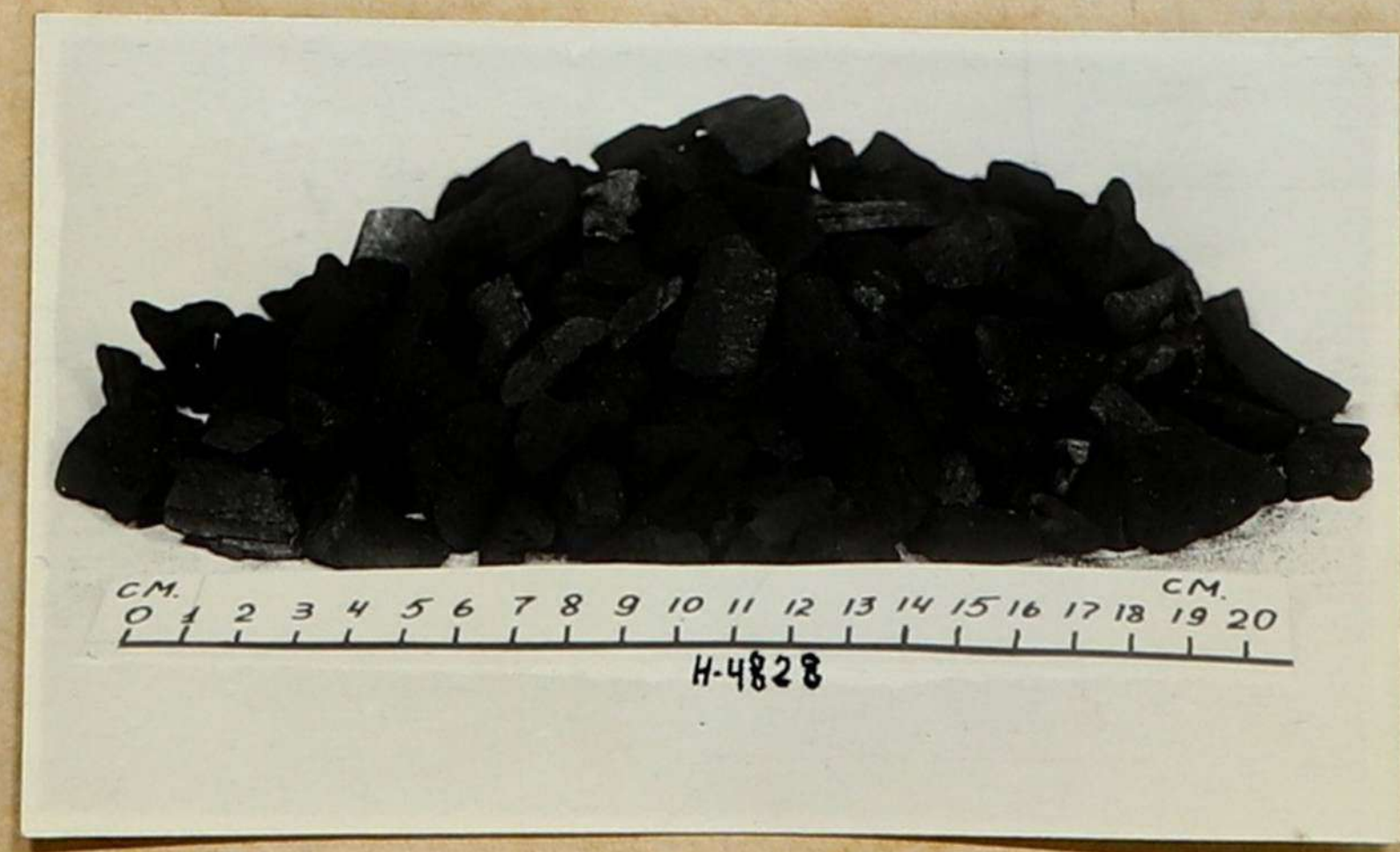
Размер угля	Дата	Влажность в %	Зольность в %	Содержание легучих в %
21-40	26/X	8,70	2,19	-
-"	29/X	7,70	1,90	24,3
-"	4/XI	6,56	1,82	19,9
-"	5/XI	16,87	1,70	-
-"	14/XI	8,30	2,76	-
11-20	19/XI	12,08	1,77	-

Из таблицы 3 видно, что применявшийся при испытаниях древесный уголь отличался повышенным содержанием летучих и соответствовал согласно ГОСТ"у № 4635-49 2-му классу.

При раз分级ации сухого древесного угля по приему процессу с израсходованным дутьем, увеличение содержание летучих приводило к значительному повышению калорийности



Фиг.5. Древесный уголь размером
21 мм х 40 мм.



Фиг.6. Древесный уголь размером
3 мм х 20 мм.

газа и поводу возможность получать наибольшую мощность, во сравнении с другими видами твердых топок и битуминозных топлив.

Произведенный, при работе на древесном угле с $W^p = 5,5\%$ и $V^r = 24,8\%$ в период 10-ти часовых испытаний, анализ газа показал следующие результаты:

Нада топливо	Состав газа в объемных %							Нижняя теплотвор- ная спо- собность газа ккал/м ³ снг
	CO	H ₂	C ₂ H ₄	C _m -H _n	CO ₂	O ₂	N ₂	
38/К	31,0	-	-	-	2,4	0,42	-	-
30/К	29,0	3,00	2,12	-	2,3	1,10	57,5	1295
31/К	30,0	3,21	0,97	-	2,4	1,20	56,3	1194
2/ХП	29,2	-	-	-	2,2	0,60	-	-

После 16-ти часовой работы двигателя на указанном топливе, на стеках охладителя во второй секции, смесителя, дроссельной заслонке и во входном патрубке всасывающего коллектора имелись смолистые отложения.

В выходных патрубках всасывающего коллектора и окончаниях головки смолистых отложений не обнаружено, стеки же сухие и имели налет отложений от 0,5 до 1 мм.

С дроссельной заслонки и стеков смесителя собрано смолистых отложений 10 гр. Во входном патрубке всасывающего коллектора смолистых отложений собрано 140 гр. Акт осмотра см. в приложении.

За время испытаний на древесном угле случаев заискивания явлений не было.

На фиг. 7 и 8 приведены регуляторная и внешние характеристики двигателя при испытании газогенератора с

зарезиной колосниковой решеткой, при предварительной установке расходе воды, из которых видно, что максимальная мощность двигателя на регуляторе получена равной 50,4 л.с. при 1250 об/мин. По кинесской характеристике (фиг. 8 при 1500 об/мин., максимальная мощность двигателя возросла до 53,2 л.с.).

Для определения длительной устойчивой мощности проводены испытания на двух размерах превесного угля в 21x40мм и 10 x 20 мм.

Результаты этих испытаний даны в бризах на фиг. 9-10, из которых видно, что средняя устойчивая мощность за 10 часов работы, на угле размером 21 x 40 мм, получена равной 50,7 л.с. на угле размером 10 x 20 мм за 3 часа работы средняя мощность составила 53,0 л.с. при 1250 об/мин.

Повышение мощности на более мягком угле происходило вследствие увеличения поверхности угля.

Антрацит

В 1949 г. для испытания был получен антрацит треста Свердловуголь, шахтоуправления Провалы, со станции Красная могила.

Перед испытанием антрацит дробился до размера 10х25 мм, на камнедробилке.

Данные по анализу антрацита приводятся в таблице 4.

Таблица № 4.

Технический анализ антрацита.

Размер- ность кус- ков	Влажность в %	Сольность в % А°	Легучие в %	Примечание
АК	$w_l^e = 2,47$ $w_l^r = 2,35$	6,66	-	по данным ИСС- ИГРТ шахты.
10-25	$w^p = 3,08 - 7,38 - 10,32$ -3,2	-	-	по анализам в ЛАИ дробленого превесного угля с/организации по- роги.
10-25	$w^p = 5,18$	0,75	2,98	по анализам на изобранных кус- ках Погонь.

По содержанию золы в газогенераторе его можно отнести по
группе горюч.

На фиг. 11 дается кривая изменений мощности за 10-ти
часовую работу газогенератора без разгрузки.

Рассмотрим приведенную кривую, что прохождение кривой идет
неравномерно и, если первые 3 часа газогенератор работает
устойчиво, то затем мощность двигателя резко падает и за 7
 часов работы снизилась с 44,6 л.с. до 26,6 л.с. Опытами ус-
тавлено, что снижение мощности происходит по причине кла-
кообразования. Образующийся щелк задает проборы подогни-
вой решетки или прохода паровоздушной смеси, а при поко-
ротах подогнивой решетки щелк не удаляется.

На основании приведенных материалов возможно сделать
предследующие выводы:

1. При употреблении в газогенераторе топливо
максимальные значения мощности достигаются при нормах, уста-
новленных ГОСТами на полукуковое и древесный уголь. Необходи-
ма проверка работы газогенераторов на промышленном полукуковом
при предельных нормах содержания золы по ГОСТ 459749, так
как основные испытания велись по полукуковому при среднем со-
держании золы $A^c = 4,1\%$.

2. При ГОСТах для древесного угля с повышенным со-
держанием летучих /18 - 20%/ достиглось максимальное значе-
ние мощности.

Появление значительных смысловых отклонений на регу-
лирующих органах смесителя указывает на необходимость про-
вести работы по удалению смол, так как длительные работы

при таких больших отложений смеси могут нарушить работу органов регулирования.

Поэтому следует придерживаться содержания норм по золе в пределах ГОСТа.

3. Работа на чистом антраците проводилась ограниченное время и показала неудовлетворительные результаты при 10-ти часовой испытации. Необходимо подобрать месторождения антрацитов с тугоплавкой золой или употреблять его в смеси с другими видами углей.

Большие затруднения происходят при повторных разжигах на чистом антраците. Необходимо перед разжигом производить полную очистку разогенератора для выкладывания на колосниковую решетку древесного угля.

Необходимо в 1950 году продолжить работу по газификации антрацита.

IV. РЕГУЛИРОВАНИЕ ПАРОВОДУЩЕЙ СИСТЕМЫ.

Основной задачей при испытании различных способов регулирования пароводяной смеси в газогенераторе для топлив изменилось снижение количества водяного пара, поступающего в пакет газогенератора, так как от этого зависело качество вырабатываемого газа и, следовательно, мощность двигателя.

Вообщем было также уменьшить общую расход воды.

Пароводяная система газогенератора ИГ-1 нуждалась также в устранении многих дефектов /засорение иглы поплавковой камеры, выпадение воды из нее при движении и т.д./.

По исследованиям, произведенным в ГАНИ^{хх}, при разбивке поплавка следующего состава:

W^P	= 14,7%	C^G	= 86,63%
A^C	= 7,3%	H^G	= 2,94%
V^G	= 15,56%	S^G	= 0,59%
		$N^G + O^G$	= 9,41%.

Максимальная мощность достигалась в том случае, когда расход воды составлял 37-40% к расходу топлива, что при пересчете на 1 кг углерода в горючей массе составляет 33,7%.

По исследованиям Е.Т.Н. Товарева Г.Г.^{хх} при газификации антрацита в газогенераторе прямого процесса НАТИ из-
з/Отчет НАТИ за 1948 г.

хх/Газогенераторные автомобили инд.И-за коммунального хо-
зяйства 1948 г.

максимальная мощность достигалась также при присадке воды в количестве 40% от расхода топлива.

По анализу, произведенным в теплотехническом Институте в составе горючей массы полукукса $C^c = 91\%$. При содержании в сухой массе топлива золы $A^c = 4,1\%$ /по данным паспорта завода/ при измениении влажности в рабочем топливе в пределах от 9 до 20%, потребность в присадке воды в кг на кг топлива в виде водяного пара при подаче 0,4шт на 1 кг углерода составит от 28 до 32% на кг топлива. При среднем часовом расходе полукукса на максимальной мощности - 24 кр/час, расход воды должен находиться в пределах от 7,6 до 6,75 кг в час. Большие значения относятся к сухому полукуксу / $W^P = 9\%$.

Указанные значения расхода воды могут быть приняты, как ориентировочные и подлежат уточнению при проведении экспериментальных работ.

В период первых испытаний газогенератора УГ-1 в 1948г было установлено, что общий расход воды составил 18 л. в час или 75% от расхода топлива.

Проведенные в начале года длительные 20-ти часовье испытания газогенератора УГ-1 показали на полукуксе с увеличенной восстановительной зоной и плоской волосниковой решеткой с подвижными волосниками при повышенной влажности и зольности $A^c = 5,9\%$ с содержанием летучих $V^c = 8,3\%$, что мощность двигателя за все время испытания была неустойчивой и колебалась в больших пределах, при этом также было отмечено значительное колебание в общем расходе испа-

испарялся водя.

Результаты этих испытаний приведены на фиг. 12.

По условиям проведенных опытов не представлялось возможным определить количество воды, поступающей в газогенератор.

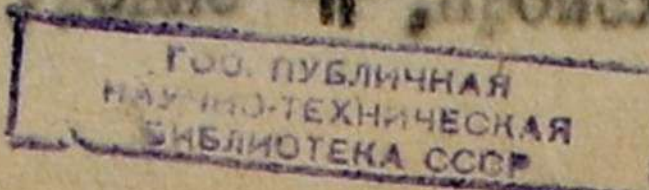
Эти испытания показали необходимость более глубокого изучения вопроса о регулировании пароходной смеси, так как одна из причин подъема монг. ости из-за которого могло явиться коррозия трубы в пакете пара, поступающего в зону газогенератора.

Как показали дальнейшие опыты в газогенераторе УГ-1 в пароходной рубашке производилось избыточное количество водяного пара в количестве 10-11 кг и для снижения расхода воды необходимо было уменьшить количество испаряющейся воды.

Следовательно задача регулирования состояла в том, чтобы обезопасить потребление и производство пара в газогенераторе, что привело бы к уменьшению тепловых потерь и улучшению п.п.д. газогенератора.

Рассмотрим пароходную систему газогенератора УГ-1 с измененной конусниковой решеткой, представленную на фиг. 13.

Газогенератор УГ-1 имеет необмурованную шахту с металлической стенкой, окружной пароходной рубашкой /1/. Вода из бака /7/, расположенного вокруг бункера по трубке /14/ через игольчатый клапан /9/, поплавковую камеру /8/ в трубку /10/ поступает в пароходную рубашку /1/. Испарение воды, находящейся в рубашке на участке "Н", происходит за счет



5927 11
66

нагрева стеков можы разогенератора генеза, омывающим ее внутри и излучением раскаленного топлива.

Газение в пароводной рубашке атмосферное, так как избыток пара выходит через трубку 11.

Пар, образующийся в пароводной рубашке через диафрагму 12 поступает в трубопровод 13, где смешивается с воздухом, подогревающимся в подсажоре 15, окрывающим между разогенератора. Воздух поступает в коллектор по трубке 14 и выходит из него через патрубок 16. Пароизлучаясь по трубопроводу 13 поступает в зольник разогенератора 11, через прозоры колосниковой решетки 19 входит в соприкосновение с слоем топлива в шахте.

Из рассмотрения схемы следует, что количество испаряющейся воды зависит от количества тепла, передаваемого через стенку шахты слою воды, находящимся в пароводной рубашке.

Это количество тепла определяется по уравнению

$$Q = \bar{F} K \Delta t \text{ ккал/час} \dots 11,$$

где \bar{F} - поверхность нагрева в m^2

K - коэффициент теплопередачи

Δt - разность температур между нагревающим газами и водой.

Поверхность нагрева воды

$$\bar{F} = \pi D_{шах} \cdot H \text{ м}^2$$

где $D_{шах}$ - диаметр шахты

H - высота слоя воды.

При $D_{ш.} = \text{const}$ очевидно, что поверхность нагрева зависит от высоты слоя H .

Несомненно, также, что количество испаряющейся воды зависит от времени и режима работы газогенератора, так как изменение нагрузки должно вызывать и изменение Δt .

Коэффициент теплопередачи "к" может быть один из факторов, воздействуя на который можно также регулировать количество тепла подводимое к слою воды.

Как показали произведенные экспериментальные работы общее количество воды, испаряющейся в пароходной рубашке зависит от уровня воды в ней и времени работы газогенератора.

На фиг. 14 и в таблицах № 5, 6 и 7 показана зависимость количества испаряющейся воды в первый час после рывки газогенератора с и изолированной щекой от уровня воды, установленного в рубашке. На этой же фигуре № 14 показана также зависимость количества испаряющейся воды от времени прогрева газогенератора при трех первоначально установленных уровнях воды: 80, 100 и 115 мм.

На кривых на фиг. 14 следует, что среднее количество воды, испаряющейся в $\frac{1}{6}$ час, при изменении уровня воды от 87 до 100 мм составляет за первый час 11-12,5 кг и увеличивается до 22,5 кг при повышении уровня до 150 мм.

При дальнейшей работе газогенератора количество испаряющейся воды в первые 4-6 часов увеличивается прямо пропорционально времени работы, как это видно на фиг. 15 и в таблице № 7, при чем уровень воды при этом непрерывно снижается. Это обусловлено тем, что количество тепла, переда-

восьмого слоя воды возвращалась значительно больше в связи с повышенной равноти температур / Δt /.

При дальнейшей же работе газогенератора без разгрузки его, как следует из фиг. 18 и таблицы № 7, количество испаряющейся воды уменьшается, оставаясь примерно постоянным в течение 4 часов работы и затем снижается на 12 и 13 часу работы.

Эти изменения в количестве испаряющейся воды происходят в связи с тем, что в газогенераторе из-за наклонения шахты фронт горения перемещается выше установленного уровня воды и поэтому процесс испарения воды происходит при пониженном значении Δt .

Такое неравномерное парообразование при изолированной выхте газогенератора весьма затрудняло регулирование пароводяной смеси и снижение расхода воды.

Как показали проведенные исследования, результаты которых приведены в таблице № 8, из общего количества воды, испаряющейся в пароводяной рубашке при диафрагме для пара $d = 12$ мм, теряется в атмосферу от 22 до 40% воды, а в выхту газогенератора поступает вместе с воздухом в виде водяного пара от 60 до 78% воды. Это количество воды в 77 газифицируемому топливу составляет от 40 до 55%, что является оптимальное количество воды, необходимое для получения высококалорийного газа / 28-35% в расходе полукоекса в рабочем состоянии /.

Регулирование количества водяного пара, смешиваемого с воздухом, как видно из приведенной выше схемы, может производиться путем изменения диафрагмы для пара и изменения

перепада давления до и после диафрагмы согласно уравнению истечения пара через дроссельное отверстие:

$$G_f = \alpha \cdot f \cdot \sqrt{(P_p + h_f) 2 g \gamma_p} \text{ кг/час} \dots 121$$

где α - коэф. расхода через диафрагму

f - площадь сечения диафрагмы

P_p - избыточное давление пара в пароводяной рубашке, в мм. в.с.

h_f - разрежение в воздушной трубе после диафрагмы.

γ_p - удельный вес пара.

Перепад давления, определяющий скорость истечения пара зависит от разности давлений в пароводяной рубашке и в воздушной трубе

$$(P_o + P_p) - (P_o - h_f) = P_p + h_f \dots 121.$$

Из указанного уравнения 121 следует, что количество пара, поступающего в шахту газогенератора, может регулироваться изменением диаметра диафрагмы и уменьшения разрежения в воздушной трубе при постоянном избыточном давлении в пароводяной рубашке.

Как показали производственные замеры (см. таблицу 7 8) при установке диафрагмы $d = 10$ мм количество воды, поступающей в шахту газогенератора в этом случае уменьшается до 7 кг или 46,8 % от общего расхода воды, что составляет 30,4 % в расходе топлива, но при этом возрастают потери в атмосферу до 53,4 %.

Из уравнения истечения следует, что количество воздушного пара, проходящего через диафрагму могло быть снижено также путем уменьшения разрежения в воздушной трубе hb . Для возможности проверки экспериментальным путем, при чем для этого воздух подавался через вентилятор /15/, который пользовалась при разливе, присоединенный к тройнику, установленному на ткоте в зольник /см. фиг. 12/. Валокоток /16/, установленный на всасывающем на трубке вентилятора, возможно было регулировать количество пара, поступающего в зольник Газогенератора, так как разрежение после диафрагмы / hb / в этом случае понизилось с 76 мм в.с. до 34 мм в.с.

На фиг. 16 представлены результаты испытания Газогенератора на подушке $\frac{P}{U} = 14,45\%$ в течение 20 часов при регулировке паровоздушной смеси указанным способом.

В этом случае общий расход воды был снижен до 17,1 кг/час, количество воды в виде пара, поступающего в шахту газогенератора составило в среднем -7,5 кг/час. или 31,1% к расходу топлива. Потери пара в окружающую среду составили 55,6%. Из приведенной кривой следует, что средняя мощность двигателя на протяжении 20 часовой работы сохранилась устойчивой и составила 43,3 л.с., при максимальном значении ее в начале 46 л.с..

Следует отметить, что при таком способе регулирования паровоздушной смеси воздух нагревался в компенторе до 70-80°С, а паровоздушная смесь нагревалась до 120-160°С, при чем в течение 20-ти часов испытаний постепенно по-

выполнилась по указанному максимальному значению. В конце 20 часа был зарегистрирован нагрев пароходуемой смеси до 190°C .

Проведенные работы по регулированию показали, что количество пара, поступающего в шахту газогенератора может быть отрегулировано в пределах требуемых норм, но при этом общее количество расходуемой воды при испытаниях стоянок шахты газогенератора не может быть снижено ниже 15-16 лт/час, из-за неравномерного вскипания воды при продолжительной работе газогенератора. Для уменьшения общего количества расходуемой воды были проведены испытания с иссаждкой внутри стенок шахты на двух газогенераторах: с плоской решеткой, выходящей подвижные колосники в поворотной барабанной решетке. В первом газогенераторе, как показано на фиг. 13/на спортивном листе волосниковской решетки было установлено металлическое кольцо высотой 200 мм, а пространство между ним и стенками шахты засыпано золой и мелким щуком. Для уменьшения тепловых потерь были изолированы также лишие стены зольника.

Регулировочные работы по расходу воды в первом газогенераторе с иссаждкой стенок, как видно на фиг. 17, позволили, что наиблагодарнейший расход во в составляет 8,5 лт/час, так как при этом достигается наибольшая мощность двигателя 48,8 л.с. при газификации полукокса с влажностью $W^P = 14,2\%$. Высота слоя в этом случае регулировалася расходом воды.

Как увеличение подачи пара до 10 кг/час, так и снижение до 6,7 кг/час приводило к понижению мощности двигателя.

Следует отметить, что наибольшая мощность при регулировочной испытании не являлась максимальной в связи с большим сопротивлением в газогенераторной установке. Разрежение перед смесителем составляло 65-70 мм р.с.

На фиг. 18 приведены результаты испытания газогенератора в течение 20 часов. Из рассмотрения кривых расхода воды следует, что в этом случае средний расход воды снизился до 7,8 кг/час и потери пара в окружающую среду были сведены к минимуму значению, так как весь образующийся пар засасывался в шахту газогенератора.

Потери пара происходили только при работе двигателя на холостом ходу.

Мощность двигателя в этом случае состояла максимума 48 л.с., средня за 20 часов - 44,4 л.с.

Испытания проходились во полукоксе с влажностью $W^P = 12,9 - 14,0\%$ и влажностью $A^e = 4,1\%$.

Таким образом была установлена возможность снижения расхода воды до 7,8 кг/час.

Необходимо отметить, что в этом случае залп в газогенераторе получался более плотным и в верхней части приставки к металлическому кольцу изоляции выше установленного уровня воды в паровой трубе. Ниже в промежутках охлаждаемой водой трубы вакуум приставки залпа к металлической стенке не проходил.

Следует отметить также, что в период 20-ти часовного испытания имею место повышение сопротивления в га-

согенераторной установке после цикловов УГ-1 было 40 ми р.с., после 8 и особенно резко после 11,5 часов работы. Сопротивление после цикловов в этом случае доходило до 48-50 ми р.с. Наблюдалось также повышение сопротивления и в фильтре газа. Общее сопротивление перед смесителем возросло с 60 до 93 ми р.с. к концу испытания. Вместе с тем, как видно из фиг. 18, сопротивление после газогенератора понизилось с 17-18 ми р.с. до 11-12 ми р.с., что указывает на причину падения мощности, которая в концу испытания снизилась до 41 л.с. Гарантированная мощность в 45 л.с. в этом испытании сохранилась до 13,5-14 час. работы газогенератора без разгрузки и удаление шлака и очистка магла сохранились большее время при сверхвременном уходе за циклонами и газопроводами.

Второй испытанный газогенератор с изолированной стенкой показан на фиг. 20. Конструкция его подробно описана в разделе по вакуумированию.

Изоляция осуществлена также воспламенной золой в эжевом пространстве между стеклянными массами в пирамидоидальной форме. В отличие от первого газогенератора изолированная стеклянная масса находилась в зоне горения и окислялась до некоторой степени паровоздушной смесью, поступавшей в лутьевую коробку.

Высота изолированного слоя составила 75 ми. Уровень воды в пароводяной рубашке в этом газогенераторе также регулировался поплавковой камерой, перемещаемой по высоте.

Количество пара для смешения с воздухом регулировалось праном, установленным вместо диафрагмы.

На фиг. 19 представлены результаты испытаний газогенератора на полукоксе. Полукокс в начале испытаний использовался подсушенный и только в конце испытания из-за отсутствия сухого полукокса был использован ~~жидкий уголь~~ с повышенной влажностью.

Как видно из фиг. 19 расход воды общий не превышал 7,5 кг/час на протяжении 10 часов, а затем начал возрастать и повысился до 11-12 кг в час, при этом пар в количестве от 1 до 3 кг/час выходил в атмосферу. Количество пара, поступающего в вакту газогенератора сохранялось на уровне 7,5 - 9 кг/час и подняло мощность поэтому об"аспелась и насыщением шлака, который не полностью удалился из вакты и употреблением я концу испытаний чистого полукокса.

Неполное удаление шлака из сердечника слоя топлива вызвало изменение направления потока газов, ~~изменение~~ повышенный нагрев стенок и соответственно увеличение парообразование.

Проверка регулирования подачи воды в пароводяную рубашку вентилями при изолированной шахте газогенератора показала, что в этом случае добиться устойчивой работы двигателя было затруднительно.

Экспериментальные работы показали также, что в первоначальной рубашке газогенераторов происходит перегрев поданного пара до 140-150°С. Смешение перегретого пара с воздухом подогретым до 60-70°С приводило к тому, что паровоз-

лучшая смесь с температурой 100-115°С поступала в зольник газогенератора и являлась благоприятным обстоятельством, исключившим возможность конденсации пара в зольнике.

На основании проведенных работ по регулированию паровоздушной смеси возможно сделать следующие выводы:

1. Количество воды, необходимое в виде пара для получения высококалорийного газа и соответственно максимальной мощности двигателя составляет 7,5 - 8,5 гр/час. в зависимости от влажности подуковса.

2. Ощий расход испаряющейся воды в пароводяной рубашке может быть снижен до указанной величины путем введения изолации стенок шахты.

3. При работе с изолированными стенками шахты расход воды может быть снижен до 15-16 гр/час.

4. Испытания показали на необходимость подбора изоляционного материала для стенок шахты газогенератора.

5. Наиболее приемлемые размеры лифрагмы для паровоздушной смеси при работе с изолированными стенками $d = 2$. Лучшим способом регулирования расхода пара при изолированной шахте газогенератора является регулирование разрежения в воздушной трубе путем пропуска части воздуха в зольник газогенератора. Контрольным показателем расхода воды в этом случае может служить изменение разрежения после газогенератора и мощность двигателя.

6. Наилучших результатов по снижению общего расхода воды дает применение изоляции стенок шахты газогенератора.

У. РАБОТЫ ПО ЗОЛОТУ И МАКОУЛАЕНЮ.

1. Колосниковая решетка барабанного типа.

Для обеспечения продолжительности работы газогенератора без разгрузки до 18 часов в сутки, было профилеено усовершенствование вращающейся решетки барабанного типа.

Изменению подверглась только нижняя часть газогенератора ГГ. Проделанные изменения показаны на фаг. 20.

Основные из них следующие:

1. Вместо сварной решетки барабанного типа, установленна литая решетка // из серого чугуна. Для предохранения колосников от прогорания, верх барабана решетки был срезан и выполнен в виде плиты. На внутренней стороне барабана имеются ребра для отвода тепла. Валамывание и дробление шлака производится тремя специальными пальцами отлитыми вместе с решеткой.

Решетка посажена на вал покоящийся на двух опорах прикрепленных к стенкам зольниковой коробки.

2. Для ссыпания золы, угольной мелочи и шлака вместо горизонтального днища установлено пирамидоидальное // /усеченное, правильная четырехугольная пирамида/ обращенное меньшим основанием вниз и сваренное из листовой стали толщиной 8 мм.

Пространство, заключенное между наружной поверхностью обечайки и внутренней стеки корпуса газогенератора /кольцевой зазор/, засыпается мелким шлаком и золой

и служит теплоизоляционной прослойкой между зоной горения и пароводяной рубашкой.

3. Для предохранения решетки от прогоров при возможном догорании угля просыпавшегося вместе со шлаком в зольник, зольниковое пространство отдельно от дутьевой коробки конусом /5/ с плоской защелкой /6/. Выдвигание ее производится рукойткой выведенной наружу, через сальниковое уплотнение /11/ в стенке зольника. Нижняя часть газогенератора в этом случае увеличена за 100 мм и составляет 420 мм.

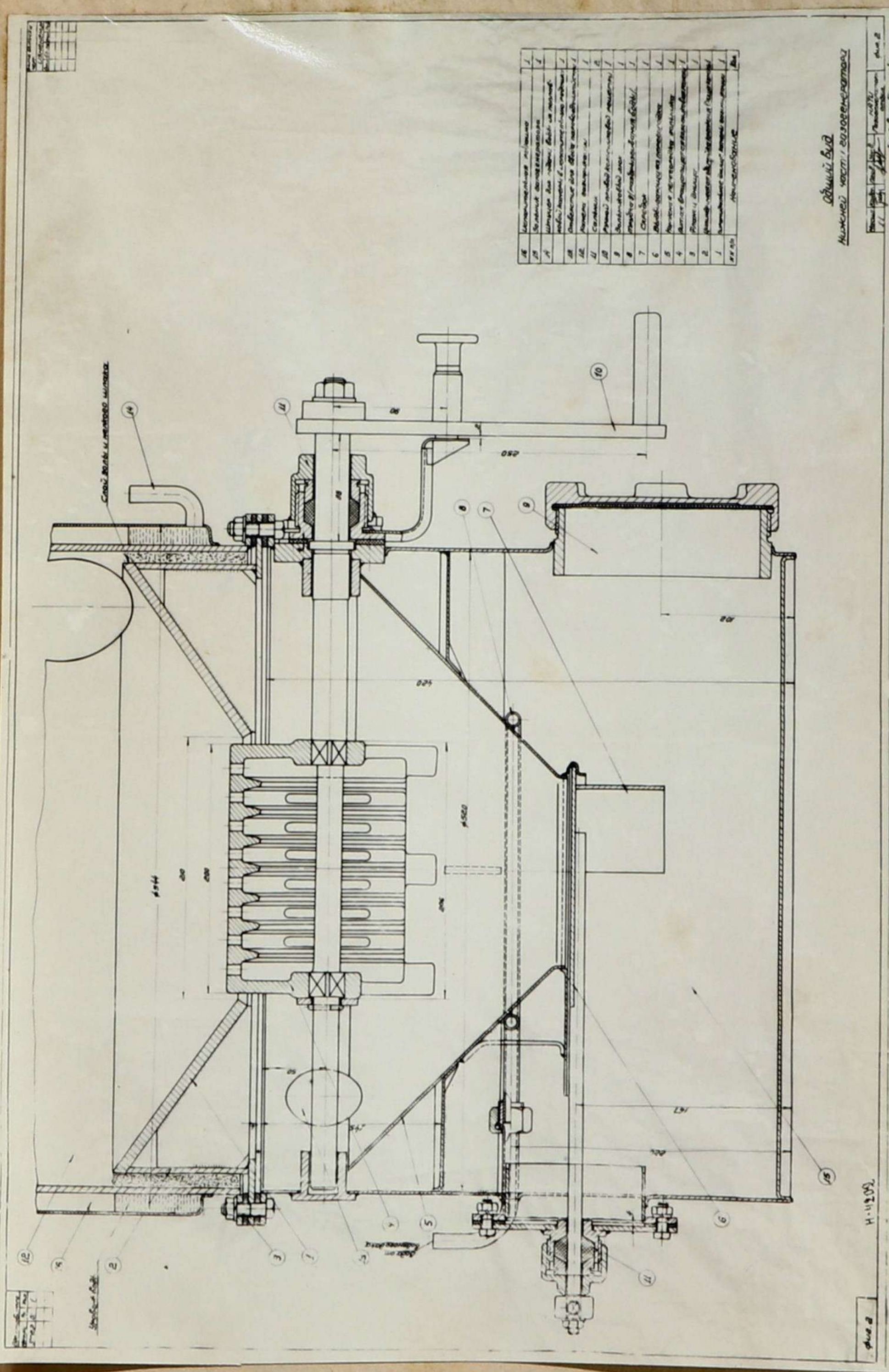
4. Вокруг разделятельного конуса, с внешней стороны, прикрепляется трубка /8/ с отверстиями, соединенная с зольным баком. При открытии крана, установленного на трубке, вода может поступать из бака в нее и производить тушение раскаленного угля просыпавшегося в зольник.

Основные данные измененного газогенератора приведены в таблице № 9.

Газогенератор после лабораторных испытаний на бензомоторном стенде в течение 90 часов был испытан с двигателем ДБГ в стационарных условиях на тракторе.

Для определения работоспособности вращающейся барабанной решетки были проведены регулировочные испытания и испытаны на продолжительность работы газогенератора без разгрузки от шлака на промытом полукопее

Черт. 20. Вращающиеся колеса для обработки бородавок.
Рисунок с периодической заключительной.



полученного с завода, древесном угле и антраците.

За время регулировочных испытаний в течение 10 часов были установлены оптимальные условия периодичности удаления шлака, необходимый угол поворота решетки, подборка наилучшей залив высоты уровня воды в пароводяной рубашке и регулировка подачи пара в шахту газогенератора.

При длительных испытаниях уровень воды был установлен в 75 мм, загрузка топлива в бункер, вращение /шуронка/ колосниковой решетки производилась через каждые 3 часа. Вращение решетки производилось на 45° в обе стороны и на $90 - 180^{\circ}$ в конце испытаний для удаления больших кусков шлака. Тушение углей и шлака в зольнике делалось в перерывах работы газогенератора для загрузки и штурваки. Для тушения раскаленных угольков в зольник засыпалось до 1 литра воды.

Газогенератор проработал на полукоксе 130 час. из них: два испытания на продолжительность по 20 часов, на древесном угле - 16 часов и на антраците - 10 часов. Всего газогенератор проработал в стационарных условиях на тракторе. - 156 часов.

Результаты 20-ти часовых испытаний представлены на фиг. 21. Из которой видно, что устойчивая мощность двигателя держалась 14,5 часов и составляла 45,6 л.с.

Затем после загрузки влажного топлива / 23,4% / мощность понизилась до 39 л.с. при чем одновременно повысился расход воды до 12 кг/час. Применением штурваками мощность двигателя восстановить не удалось. Расход воды по-

низился до 8 кг., но затем через час вновь поднялся до 19 кг., а мощность продолжала снижаться до 37,6 л.с. к концу выкига топлива в бункере мощность поднялась до 41,7 л.с. вследствие подсушки топлива в газогенераторе. После загрузки сухого топлива $W^P = 7,3$ мощность постепенно к концу испытаний поднялась до 43,3 л.с. Таким образом, за период 20-ти часовых испытаний мощность двигателя снизилась с 47,1 до 43,3 т.е. на 7,6%. Средняя мощность составила 43,8 л.с. Несколько пониженная средняя мощность в период испытаний обусловлена работой в течение 6 часов на вязком топливе.

В таблице № 10 приведены данные о количестве золы и шлака и угля просыпающихся, в таблице № 11 приведены данные о распределении золы и шлака, удаленных и оставшихся в газогенераторе при вращении барабанной решетки.

Из приведенных данных следует, что к моменту падения мощности в пахте газогенератора накапливается довольно значительное количество шлака /8,0 кг/, т.к. при вращении решетки удаляется только 35% от всего образующегося шлака.

Следует указать, что при поворотных решетках удаляется вместе со шлаком много угля.

За 20-ти часовые испытания потери угля составили 33,6 кг. или 7,6% от общего расхода полукокса.

При малой высоте активного слоя оставшийся шлак ухудшает процесс газификации и, как следствие этого, производит в понижение мощности.

Тот факт, что при вращении решетки удаляется только половина образующейся зоны и шлака не является случайным, а следствием того, что решетка при поворотах нехватывает всего сечения зоны газогенератора.

Кроме того, как видно из фиг. 21 приведенной выше, к этому времени увеличивается и испарение воды в пароводяной рубашке, так как шлак выпадает из наклонных стенках днища и около стенок пароводяной рубашки. Характер отложений шлака показан на фиг. 22.

2. Плоская волосниковая решетка с подвижными волосниками.

Испытано было установлено, что вращающиеся в вертикальной плоскости волосниковые решетки не очищают полностью зону горения от шлака. Половина шлака осаждается в камере. Поэтому решено было увеличить объем активной зоны и построить плоскую волосниковую решетку с подвижными волосниками для работы по принципу незаполнения шлака в юксе газогенератора, но с возможностью производить порционное волнивание шлака. Для этого были взяты конструкции в газогенераторе УГ-1, описание которых дается ниже.

1. Взятая вращающаяся волосниковая решетка в газогенераторе УГ-1 была установлена плоская решетка с подвижными волосниками. На фиг. 24 и 25 показано два вида но-

лосиновой решетки. Решетка представляет собой кованную плиту оцинкованную серого чугуна. Для прохода паровоздушной смеси в зону горения в средней части решетки расположены четыре прямоугольных отверстия. В эти отверстия за подшипник с плоскостью решетки входит подвижные колосники, монтируемые вилку по квадратном валу, образуя в отверстиях решетки по периметру прозоры для прохода воздуха шириной 3 мм.

Очистка воздушных прозоров от забивания их шлаком и мелочью осуществляется подвижными колосниками, которые могут при повороте вала отклоняться в ту и другую сторону на 45° . На конце вала колосников насажено втулка с прорезью, в которую входит вал рукояти, установленный в корпусе зольника с сальниковым уплотнением /Игр. 26 и 27/.

2. Высота активного слоя топлива в шахте из -за использования генератора старой конструкции была увеличена с 374 мм до 470 мм, т.е. только на 96 мм.

Увеличение слоя выполнено за счет уменьшения высоты зольника и подъема разборной трубы.

Основные параметры генератора приведены в табл. № 9.

Высота активного слоя в опытном образце генератора определена на основании следующего расчета:



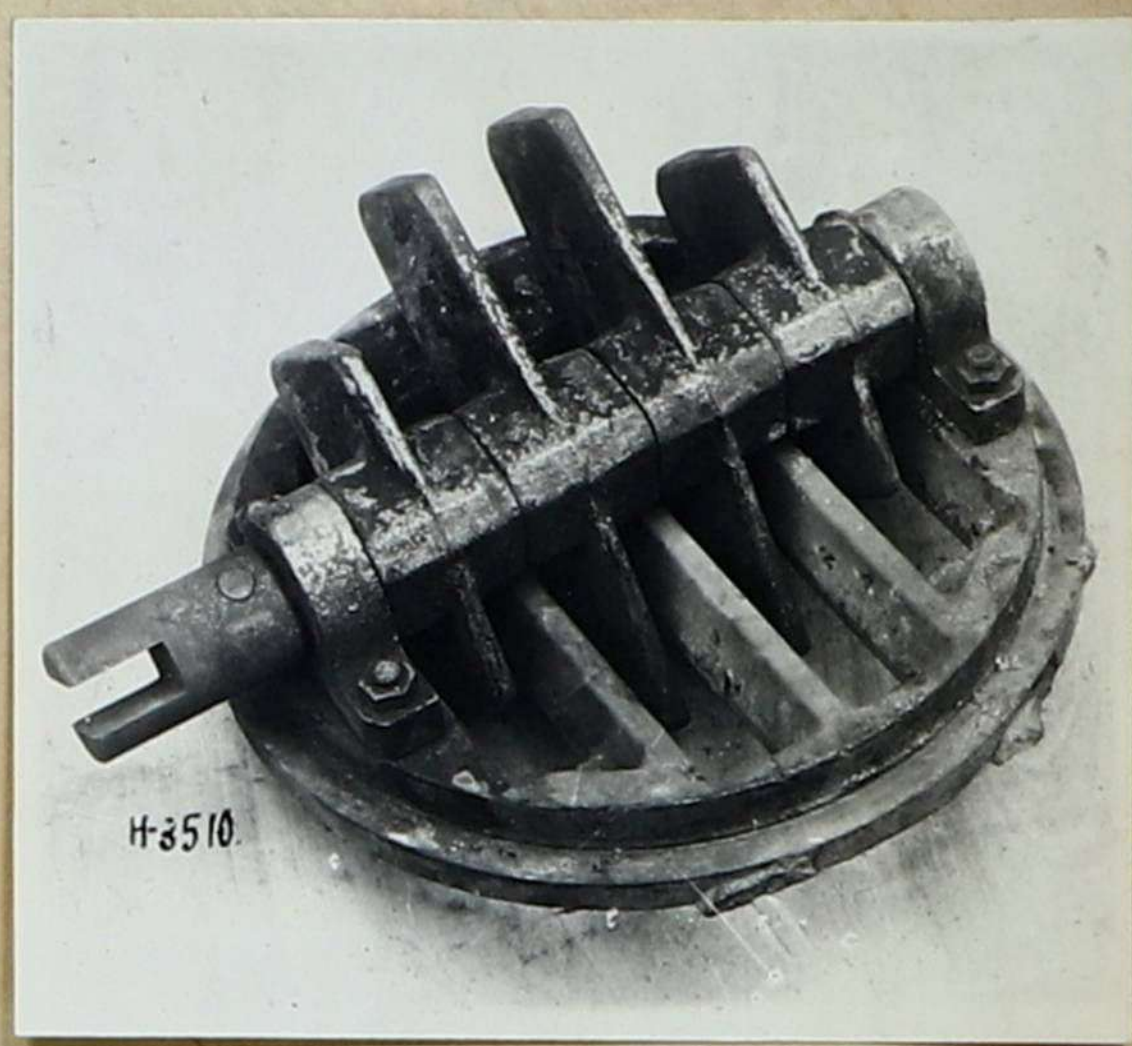
Фиг. 22.

Расположение шлака в камере газификации с барабанной решеткой после 20 часовой работы.



Фиг. 23.

Расположение шлака в камере газификации с плоской решеткой и посеребренными колосниками после 20 часовой работы.



Фиг. 24.

Плоская решетка с подвижным колесиком.
Вид сверху.

Фиг. 24.

Плоская решетка с подвижными колесиками.
Вид снизу.



Фиг. 26.

Рабочее положение колосников в решетке.



Фиг. 27.

Положение колосников при шуропках.

1. Расход полукокса в час при максимальной мощности двигателя $C_f = 24$ кг.

2. Содержание золы в сухой массе полукокса $A^c = 8\%$.

Влажность рабочего топлива $W^P = 9\%$.

3. Количество золы, выделяющейся при газификации полукокса в час определяем из уравнения:

$$A = C_f \left(\frac{100 - W^P}{100} \right) \cdot \frac{A^c}{100} / 1/.$$

При указанных значениях A^c и W^P получим золы и шлака

$$A = 24 \cdot \frac{100 - 9}{100} \cdot \frac{8}{100} = 1,75 \text{ кг/час.}$$

Принимая потери недожженного угля вместе с золой и шлаком - 2%, будем иметь общее количество отходов в час

$$A' = 1,75 + 0,02 \cdot 24 = 2,02 \text{ кг/час.}$$

При насыпном весе отходов $g_{sh} = 1,8 \text{ кг/л.}$ необходимый объем составит:

$$V_{sh+3} = \frac{A'}{g_{sh}} = \frac{2,02}{1,8} = 1,12 \text{ л/час.}$$

Для работы в течение 20 часов для накопления отходов необходим следующий объем:

$$Y = 1,12 \cdot 20 = 24,8 \text{ л.}$$

При диаметре шахты 510 мм. высота шлаковой подушки составит:

$$H_{sh} = \frac{24,8}{0,785 \cdot 5,1^2} = 1,22 \text{ дм.}$$

или 122 мм.

т.к. насыпанный вес отходов может изменяться из-за различного состава золы высоту шлаковой зоны принимаем 150 мм.

По опытам к.т.н. Токарева Г.Г. минимальная высота слоя топлива при газификации антрацита составляла 350 мм. и поэтому высота активного слоя должна быть не меньше $350 + 150 = 500$ мм.

Эта высота слоя и была принята при разработке конструкции газогенератора УГ-2.

Для газификации древесного угля, обладающего меньшей зольностью и более тугоплавкой золой возможно высоту слоя не увеличивать.

В газогенераторе это можно осуществить путем замены газоотборного колпака опуская его ниже для газификации древесного угля, что увеличивает также ~~Количе~~^{стие} газифицируемого топлива и позволяет производить догрузку газогенератора реже.

Для проверки влияния увеличенной высоты слоя топлива на качество генераторного газа и мощность двигателя были проведены сравнительные испытания газогенератора с высотой слоя 470 мм и 374 мм на полукоксе с $W^P = 14\%$. Изменение высоты активной зоны достигалось путем смены газоотборного колпака. В обоих случаях нижняя часть шахты газогенератора была изолирована внутри на высоте 200 мм, толщина слоя изоляции - 25 мм.

В качестве материала для изоляции применялась зола и мелкий азак. Зольник газогенератора был также изолирован asbestosным листом с металлическим кожухом.

Сравнительные испытания производились в одинаковых условиях расходом воды, составлявшим - 7 кг/час.

Перед испытаниями газогенератор был полностью очищен.

Результаты испытаний приведены на фиг. 28, из которых следует, что при увеличенной высоте слоя средняя мощность двигателя составила 47,4 л.с., против - соб.с, т.е. на 1,4 л.с., ^{больше} чем при высоте слоя 374 мм.

Следует отметить, что при высоком слое топлива повышается температура паровоздушной смеси на 25°C и составляет 115°C, что помимо увеличения высоты слоя могло явиться одним из факторов, повлиявшим на повышение мощности двигателя.

На фиг. 29 представлена регуляторная характеристика двигателя на полукоксе при влажности его $W^P = 14,2\%$.

При $N = 1250$ об/мин. мощность двигателя получена равной 47,6 л.с. на втором часу работы газогенератора.

Указанное значение мощности не является максимальным, т.к. влажность полукокса превышала норм ГОСТ 4397-49 г. $/W^P = 9\%.$

Влажность полукокса была в пределах средних норм $1 A^c = 4,7\%.$

Характеристика снималась при предварительно установленной подачи воды в газогенератор в количестве 8,25 кг/ч. Максимальная мощность на полукоксе достигнутая за время испытаний на таком же генераторе с подачей перегретого пара составила , как это видно на фиг. 31 - 491 л.с. при влажности $w^P = 99\%$.

Для определения длительности работы газогенератора без удаления шлака были проведены два двадцатичасовых испытания на промытом полукоксе с $A^c = 4,7\%$ и $w^P = 14,4\%$. Загрузка топлива и шуровка производились через 3 часа работы газогенератора.

Результаты испытаний представлены на фиг. 16 и 18. Как показали результаты испытания газогенератора без изоляции и с оптимальной подачей воды - 8,5 кг/час, представленные на фиг. 16, Средняя мощность двигателя за 20 часов составили 43,3 л.с. и минимальная 46 л.с.

При втором 20-ти часовом испытании газогенератора с изоляцией и расходом воды 7,6 кг/час. представленном на фиг. 18 средняя мощность двигателя составила 44,4 л.с., при максимальной 48 л.с.

Таким образом снижение мощности за 20 часовые испытания составило в первом случае 3,5%, а во втором 14%. Довольно большой процент снижения мощности во втором опыте получен по причинам, указанным выше, на стр. 26.

Проведенные испытания плоской решетки с подвижными волосниками в увеличенной высотой активного слоя топлива, при оптимальной подаче дозы в между газогенератора показали возможность работать без удаления шлака из газогенератора в течение 16 часов при максимальной мощности двигателя, что в условиях эксплуатации, с коэффициентом использования смены 0,8 обеспечивает работу на максимальной мощности в течение 20 часов.

VI. ОПТИЧЕСКИЙ ОБРАЗЕЦ ГАЗОГЕНЕРАТОРА ИЗ ТОПЛИВА.

На основе приведенных экспериментальных работ по регулированию паровоздушной смеси и залоудалению было решено для разработки опытного образца принять газогенератор, работающий по принципу измельчения шлака, так как работы по залоудалению с вращающейся барабанной решеткой показали, что данной конструкцией решетки обеспечивается удаление только 50% шлака, при чем потери угля составляют 7% от расхода топлива. Все сдвиги барабанной решетки приводят к увеличению размеров зольника, усложняет конструкцию и не дает преимуществ в работе, так как требует очистки газогенератора от шлака в сроки небольшие, а по опытным данным, даже более короткие.

Для обеспечения продолжительности работ на полувакуме в течение 16-18 часов высота активного слоя установлен равной 560 мм. Для древесного угля высота слоя может быть принята 575 мм.

В целях уменьшения расхода испаряющейся воды, в ваку-

газогенератора в нижней части на высоте 200 мм имеется изолирующая пробка, которая временно осуществляется путем использования вспомогательного золы и шлака в установленное металлическое кольцо.

Регулирование уровня испаряющейся воды в пароводяной рубашке решено сократить поплавковой камерой при атмосферном давлении.

Для уменьшения засорения запорного игольчатого клапана в поплавковой камере предена двойная фильтрация воды в вакуумном баке, в поплавковой камере проводится контурный фильтр. Поплавковая камера устанавливается в плоскости изменяющего уровня воды в пароводяной рубашке, расположенной поверх оси трактора, так что в этом случае обеспечивается большая равномерность поступления воды из камеры в пароводяную рубашку и колебания уровня воды в ней при движении трактора несвязаны со изменениями уровня в поплавковой камере.

Простые экспериментальные работы показали при отдельных опытах, что повышение температуры пароводяной смеси дает повышенные мощности, что обясняется большим разложением пара в процессе газификации.

Условия эксплуатации газогенераторных тракторов с возможностью значительных колебаний температуры окружающей среды от -30 до +40°С не позволяют использовать привычные в стационарных газогенераторах подачу пароводяной смеси при температуре, соответствующей 100% насыщения ее паром в количестве, необходимом для процесса газификации. При расходе 40% воды в расходу гондола 100%

насыщенные воздуха достигается при температуре 57-58°С. В зимних условиях необходимо будет произходить охлаждение паровоздушной смеси и связанный с этим конденсации пара, вследствие чего в Газогенератор будет поступать с воздухом меньше пара.

Поэтому необходимо или усиленно изолировать трубопровод, по которому проходит паровоздушную смесь или обеспечить подогрев ее.

Подогрев паровоздушной смеси может быть выполнен различными средствами.

При разработке образца газогенератора решено было усилить подогрев воздуха и пара, используя физическую теплоту генераторного газа, выходящего из Газогенератора с температурой 500-600°С и теплоту, передаваемую через стеклянную шахту, которая теряется во внешнюю среду.

Для использования физической теплоты газа в верхней части циклона в конусной полости, образуемой внутренним цилиндром подогревателя и внешним кожухом производится подогрев воздуха. Из циклона подогретый воздух поступает в воздухонагреватель газогенератора.

Происходящее при этом снижение температуры наружных стенок циклона облегчает обслуживание установки.

Периодичность загрузки топлива в бункер газогенератора в связи с увеличением объема активного слоя сокращена с 8 часов до 4,5 часов. Запас воды в баке составляет 72 л. и обеспечивает работу газогенератора при расходе 8,5 л/час в течение 8,5 ч при максимальной нагрузке.

В связи с тем, что в эксплуатации тракторов возможно употребление неочищенной воды и поэтому на стоках шахты будет происходить отложение пакши, ширина пароводяной рубашки увеличена до 26 мм. Диаметр разъема газогенератора в нижней части аннулирован, так как при расположении разъема книзу ограничиваются размеры фланца опорой газогенератора в половина болтов соединения недоступны для проверки и подтяжки.

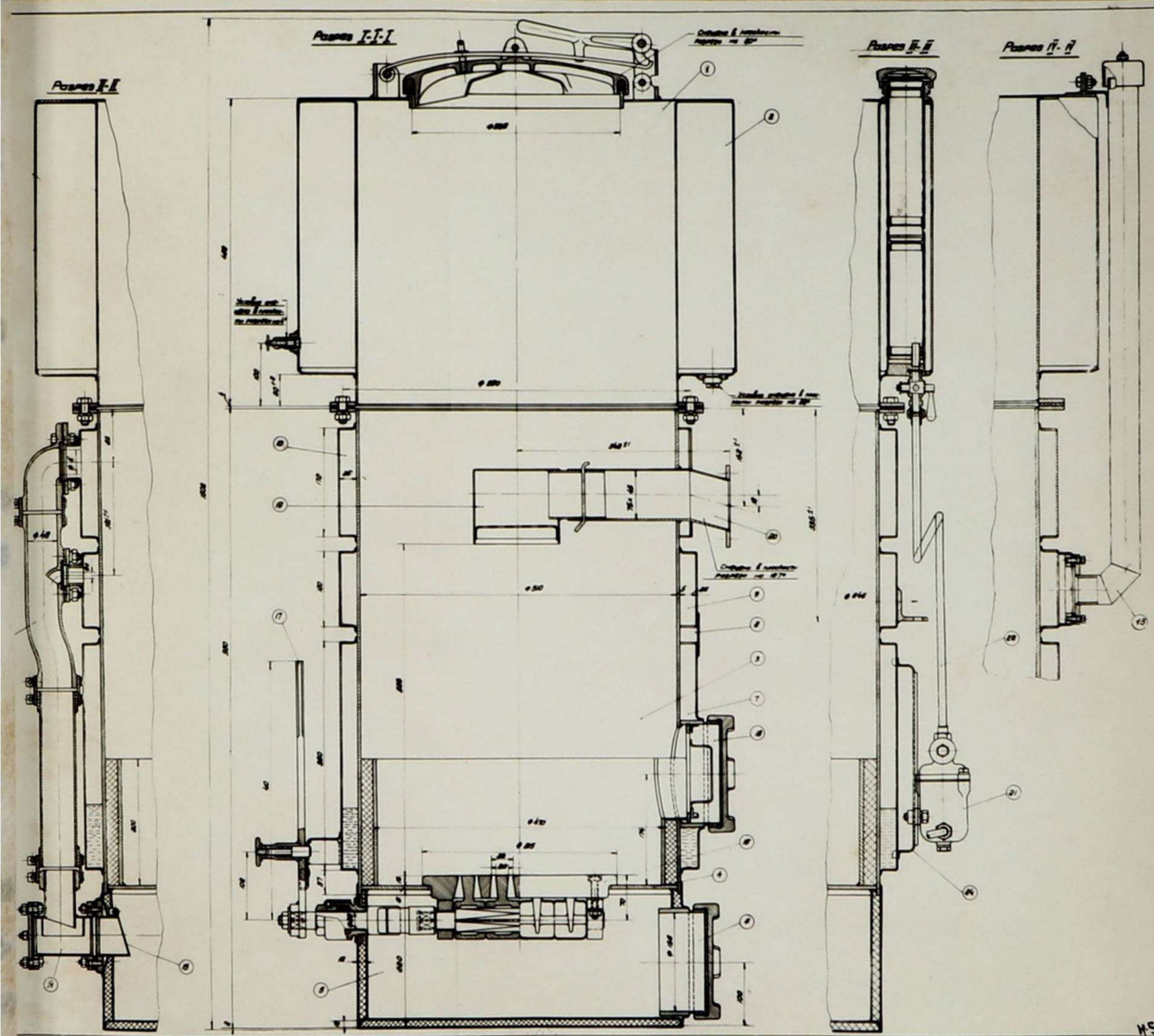
Поэтому разъем газогенератора сделан в верхней части шахте водяного бака.

Конструкция плоской волосниковой решетки изменением не подверглась и сохранена такой же, как описано уже выше в главе залоудления. Вольные газогенераторы уменьшены по высоте.

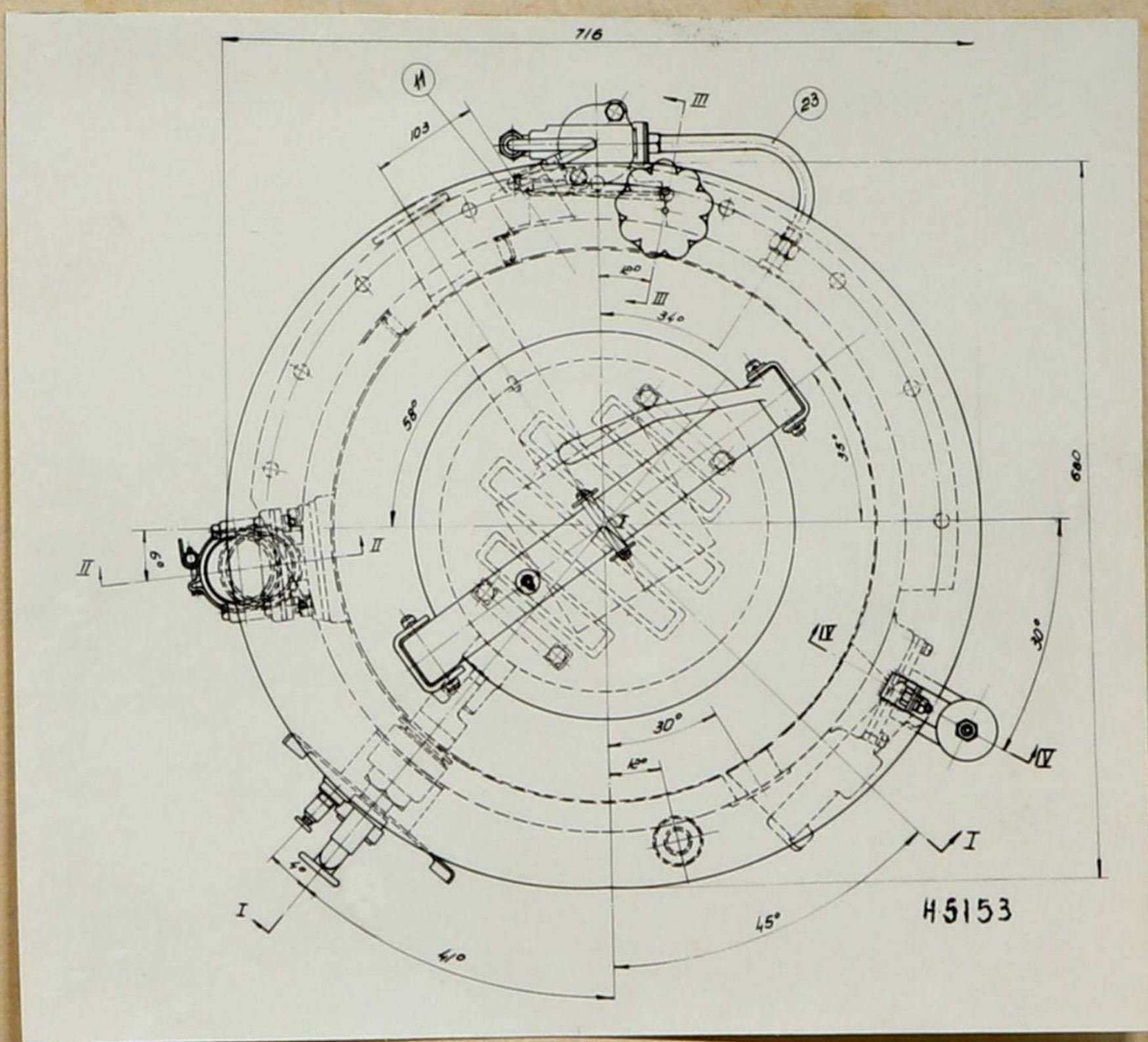
На фиг. 30 и 30а представлен разрез и план симметричного образца газогенератора.

Газогенератор состоит из двух частей: бункера /1/ с водяным баком /2/, представляющим один сварной узел и нижней части, состоящей из пакты /3/, заканчивающейся приваренным к ней днищем /4/. Книзу в шахте приварена изолированная асбестом вольниковая коробка /5/ с резьбовым люком /6/ для разъема газогенератора и уплотнения зоны, изолированной изольником из асбеста.

Снаружи в шахте приварена пароводяная рубашка /7/, состоящая из пакты /8/ с пароперегревателем /9/. Внутри него расположен воздухоподогреватель /10/, имеющий входной потрубок воздуха /11/.



Фиг. 30. Газогенератор ГГ-2.
/продольный разрез/.



Ген. 20а. Генератор ГГ-2
/план/

К воздушному коллектору к пароперегревателю присоединяется на фланцах паровоздушная труба /12/. В расстояниях соединительных фланцев трубы устанавливаются диафрагмы для регулировки расхода пара и воздуха.

Для выхода пара из пароперегревателя при повышении давления выше атмосферного установлено труба /13/.

Паровоздушная труба состоит из трех частей, соединенных резиновыми шлангами, так как по условиям сборки обеспечить соприкосновение трех соединяемых мест в сварной конструкции представляет затруднения.

В зольнике газогенератора установлен тройник /14/ с обратным клапаном /15/, соединенный с паровоздушной трубой и попорным вентилем горючим.

На днище газогенератора устанавливается колосниковая решетка /16/, состоящая из плиты с подвижными колосниками, насаженными на квадратный вал, опирающийся на две опоры, привернутые к пите. На одном конце вала наложен муфтa с фрезерованным пазом для соединения с валиком ручного привода. Валик имеет сальниковое уплотнение в стенке зольника. На конце валика насаживается рукотка, имеющая фиксатор для установки колосников в рабочее положение. Рукотка /17/ поворачивается в пределах ограничителя, приваренного к паровоздушной трубе.

Колосниковая решетка может быть вынута из газогенератора без разборки его через загрузочный люк. Для удаления шлака из шахты газогенератора над решеткой расположена второй разгрузочный люк /18/.

Для проведения ^{e/} экспериментальных работ газ отбирается из трубы /19/ с решеткой установленной на вы-

сота слоя 300 мм при поступлении на прямоугольном патрубке /20/, суживающемся в выход из газогенератора для циркуляции воздуха при поступлении в циркуляционного патрубка высота слоя яиц. Чем выше газоотборного патрубка высота слоя яиц, тем выше может быть снижение до указанных выше размеров.

191

Поплавковая камера /A/ соединена с водяным баком
трубкой /2/, входящей в стакан, в который вложен фильтр для
воды.

На трубке установлены зран для прекращения подачи воды при чистке и головочного клапана.

Подача воды из помпажной монтеры в пароводяную
трубку проходит по трубе $1/2$.

В опытном образце износные условия в пароводяной рубашке достигаются перемещением поплавковой камеры по кронштейну /24/, приваренному к пароводяной рубашке.

Газогенератор НАТИ УГ2 для боевых танков изготавливается служащими основных заводов:

1. Диаметр корпуса внутренника	-	510 мм
2. Высота активного слоя для полужекса		525 мм
на древесном угле	-	
3. Объем активной зоны		
на полужексе	-	107 л
на древесном угле		76 л.
4. Учебный объем камеры /для 45 л.с./		
на полужексе	-	2,33 л/лс
на древесном угле	-	1,70 л/л.с.

5.	Напряженность горения на полукоаксе	-	140 кг/м ² час
	/по диаметру шахты/.		
6.	Площадь сечения шахты газогенератора	-	0,20 м ²
7.	" проходных сечений для воздуха в колосниковой решетке	-	0,01 м ²
8.	Размеры пароводяной рубашки:		
	высота	-	260 мм
	ширина	-	26 мм
9.	-"- пароподогревателя:		
	высота	-	120 мм
	ширина	-	26 мм
10.	-"- воздухоподогревателя:		
	высота	-	172 мм
	ширина	-	26 мм
11.	Габариты зольника		
	высота	-	125 мм
	об'ем /при $\delta = 490$ /	-	125 л.
12.	Габаритные размеры газогенератора		
	высота	-	1600 мм
	диаметр по баку 680x716 мм		
13.	Об'ем бункера		
	для полукоакса	-	125 л.
	на древесном угле		
14.	Запас топлива в бункере при загрузке:		
	полукоакса	-	68, кг
	древесного угля	-	88 кг
15.	Расход в час при гарантированной мощно-		
	сти 45 л.с.		
	полукоакса	-	25 кг/час
	древесного угля	-	22 кг/час.

16. Запас топлива в бункере обеспечивает непрерывную работу трактора при гарантированной мощности двигателя:

на подуконсе в течение - 2,5 ч.

на древесном угле - 1,5 ч.

- 74 л.

17. Емкость водяного бака

18. Расход воды в час при максимальной мощности

на подуконсе - 8,6 кг/час

на древесном угле - 5,0 кг/час

19. Расход воды в % от расхода топлива

на подуконсе при максимальной мощности

- 24%

на древесном угле - 23%

20. Сухой вес газогенератора

- 210 кг.

Расположение газогенератора ТГ-2 на тракторе показано на фиг. 38-36.

Газогенераторная установка на представленных фигурах имеет измененную систему очистки, состоящую из циклона ПИОГАЗ-КМН, четырехходового складителя и фильтра с наливным орошением, показанный при испытании на подуконсе лучшие результаты по очистке газа.

Для запаса топлива на тракторе, как это видно на фиг. 36, установлены три ящика.

Сытый образец газогенератора был подвернут испытанию в течение 20 часов на подуконсе с влажностью $W^R = 9,9\%$ и вольность $A^c = 4,8\%$ с высотой слоя 525мм

Размеры диафрагмы были установлены после регулировочных испытаний для пара - 12 мм и для воздуха - 30 мм.

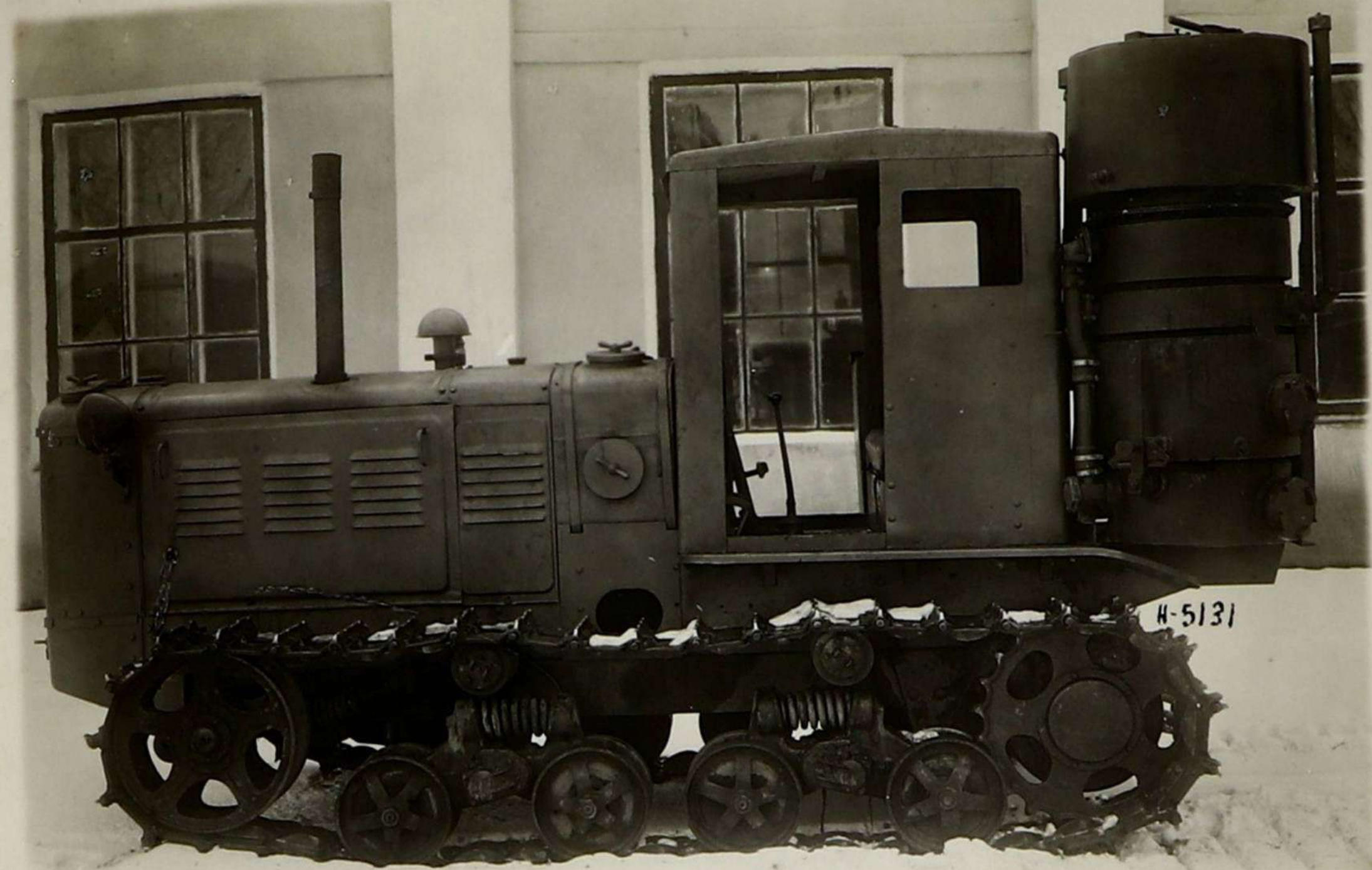


ГР. 32. Трактор с газогенераторной установкой НДИ УГЗ. Вид спереди.



Н-5130

Фиг. 84. Трактор с газогенераторной установкой НАМИ-УГ2. Вид сзади.



Фиг. 35. Трактор с газогенераторной установкой.
Вид слева.



Фиг. 36. Трактор с газогенераторной установкой.
Вид справа.

Уровень воды установлен был в пароводяной рубашке - 95 ми.

Металлическое бельце для изоляции устанавливалось на лище свободно. Толщина изоляции из волы и мелкого шлака - 20 ми.

Испытания газогенератора проводились непрерывно в течение суток, загрузка газогенератора и шуровка решеткой производилась через три часа.

Результаты испытания приведены на фиг. 31.

Максимальная мощность на цестом часу работы поднялась до 50,5 л.с. Понижение средней величины мощности до 49,1 л.с. вызвано снижением ее до 45 л.с. при последующей загрузке топливом.

Средняя мощность за 19 часов составила 44,35 л.с.

Гарантированная мощность в 45 л.с. выдерживалась в течение 12,5 часов при дальнейших 6 часах снижалась в колеблющемся в пределах 42-44 л.с., что обеспечивает работу в эксплуатации в течение 16-18 часов при использовании гарантированной мощности с коэффициентом 0,8.

Средний расход воды, поступавшей в газогенератор оставил - 3,3 кг/час или 31,1% от расхода топлива.

Расход воздуха - 26,7 кг/час.

Сопротивление газогенераторной установки с новым цирлоном снизилось до 40-50 ми р.с.

Температура пароводяной смеси составляла в среднем 180°С.

Температура газа перед смесителем не превышала 35°С.

Осмотр состояния шлака после испытания показал, что шлак сильно прошламается в прилип к металлической стени. См. фиг. 32.

Проведенные испытания образца позволяли, что по длительности работы, мощности, расходу воды опытный образец вполне удовлетворяет поставленным требованиям.

Время ^{от} изомалии из шлака и волы в металлической оболочке не удовлетворяет требованиям и необходим подбор стальной изоляции.

Для изоляции стенок шахты Радиогенератора при изаружном водяном охлаждении применяются в заграничной практике огнеупорные материалы, обладающие высокой теплопроводностью.

При высоте обмуровки 200 м и водяном охлаждении возможно вполне разрешить эту задачу.



ЭТГ-22. Расположение шлака
в шахте газогенератора ЭТГ по-
сле 20 часовой непрерывной ра-
боты.

III. ПУСК ВИГАТИЯ И РОЗЫГР ГАЗОГЕНЕРАТОРА.

В связи с тем, что розыг газогенератора на полу-
воксе при просасывании газа двигателем длится в тече-
нии 10-12 минут и с пониженным температурным режимом
в шахте газогенератора, вызывает повышенный расход бен-
зина, перегрев пусковых клапанов и приводит к повышен-
ному смолоныжению в газопроводах и во всасывающей сис-
теме двигателя, были проведены опыты по розыгу газоге-
нератора нагнетающим центробежным вентилятором с ручным
приводом. Для этой цели был использован вентилятор тре-
левочного трактора КТ-10 производства завода им. Киро-
ва. Вентилятор имеет следующие основные данные:

- | | | |
|---|---|----------------|
| 1. Внутренний диаметр корпуса | - | - 315 мм. |
| 2. Ширина корпуса /внутренняя/ | - | - 41 мм |
| 3. Диаметр крыльчатки | - | - 248 мм |
| 4. Ширина лопастей | - | - 24 мм |
| 5. Диаметр входного патрубка | - | - 56 мм |
| 6. --"--- выходного --" | - | - 54 мм. |
| 7. Передаточное число при двух парах
шестерен | - | - 36 |
| 8. Принимая вращение рукойти ^{со скоростью} 40 об/мин, | | |
| обороты вентилятора составляют около | - | - 1300 об/мин. |

Вентилятор устанавливался на специальной подстав-
ке и нагнетающий патрубок соединялся резиновым шлангом
с патрубком вольниковой коробки газогенератора.

Схема расположения вентилятора дается на фиг. 13. Газол вводился через зольниковый люк и поджигался перед вращением вентилятора. Раздув производился при закрытом люке. Образующийся газ в пакте выходил из газогенератора через вытесняющую трубу в атмосферу. Отходящий газ периодически покерялся на горение и после того, как газ начал гореть устойчивым пламенем, вытесняющая труба закрывалась, ^{из затем} приступали к запуску двигателя на бензине.

Общий вид вентилятора представлен на фиг. 37.

За время опытов было проведено 49 разжигов с переводом двигателя на газ. Из них 12 разжигов холодного газогенератора, а остальные теплого с продолжительностью стоянок от 2-х мин. до 72 часов. Максимальные значения получены при стоянках газогенератора под вытяжкой.

Результаты проведенных опытов по длине испытаний сведены в таблицу В 14 из которой следует, что разжиг холодного газогенератора после зарядки, до получения устойчивого горящего пламени, занимает от 8 до 26 минут, при средних значениях 17 минут. Максимальное включение разжига получено при засыпке в газогенератор полукокса повышенной влажности $W^P = 20,4\%$, минимальное — при $W^P = 10,7\% / \text{мн.}$ таблицу В 12 в приложении.

Подготовка газа вентилятором при теплом газогенераторе составила от 9 до 12 мин. при средних значениях 5,5 мин. Верхний предел получен при раздуве га-



Фиг. 37. Общий вид вентилятора К-12.

газогенератора с накопившимся залаком в шахте.

Перевод двигателя на подготовленном газе, после запуска на бензине, независимо от продолжительности стоянок, занимает от 0,5 до 5 минут при среднем значении 2 мин.

Максимальные значения получены после загрузки топлива с повышенной влажностью.

Общая продолжительность разжига газогенератора вентилятором с переводом двигателя на газ при первоначальном разжиге составляет 19 минут, при повторных /теплого/-
- 7,5 мин.

Для сравнения показатели разжига газогенератора при различных способах приводятся в таблице В 15,
из которой следует, что продолжительность разжига газогенератора на полукоксе вентилятором с переводом двигателя на газ на 7 минут больше, чем двигателем. Расход бензина при разжиге ^{вентилятором} уменьшился почти в 5 раз.

На основании произведенных опытов можно сказать, что применение вентилятора для разжига газогенератора на полукоксе, уменьшает расход бензина.

Единственным недостатком ручного вентилятора является трудность вращения рукоятки в особенности при длительных первоначальных разжигах газогенератора. Однако, этот недостаток можно легко избежать путем использования привода его от пускового двигателя ПД-10 на тракторах ТД-54.

УП ВЫВОДЫ

На основании проведенных работ возможно сделать следующие выводы:

1. Мощность двигателя на генераторном газе из полукокса достигается максимальная до 50 л.с. при влажности его не более 10%.

2. Повышение влажности полукокса при зольности $A^c = 4,85\%$ снижает мощность двигателя и поэтому она должна быть ограничена в пределах норм ГОСТ 4597-49.

3. Гарантированная мощность двигателя в 45 л.с. может быть обеспечена в течение 16-18 часов при полной нагрузке.

4. Расход воды без изоляции шахты газогенератора не может быть снижен ниже 15-16 кг/час.

При применении изоляции расход воды может быть снижен до 3,5-го кг/час.

5. Расход полукокса при $W^P = 9,9\%$ и $A^c = 4,85\%$:

удельный - 0,52 - 0,6 кг/л.с. час
часовой - 25 - 38 кг/час

6. В газогенераторе УГ-2 может применяться полукокс завода № 1 Главгазтопприса и древесный уголь.

7. Построенный опытный образец газогенераторной установки УГ-2 требует доводки в части подбора изоляции для шахты газогенератора и разработки обратного колокола для предохранения от вскрытия газа при загрузке топлива.

8. Необходимо подвергнуть газогенераторный трактор испытанию в зимних условиях для проверки работы паровой системы газогенератора при низких температурах и испытанием на износ.

ЗАКЛЮЧЕНИЕ

Созданный образец газогенератора для тяжелых толлив НАТИ /Г-2/, является работоспособным обеспечивающим газификацию полусухого и древесного угля. После подбора изоляции для шахты может быть предъявлен для испытаний на износ.

НАЧАЛЬНИК ГАЗОГЕНЕРАТОРНОГО
ОТДЕЛА

М.М. ГЕОРГИЕВИЧ КИРИЛЛОВ

ЗАВ. ГАЗОГЕНЕРАТОРНОЙ
ЛABORATORIи

Н.Ф. БОДУШКО
/БОДУШКО Н.Ф./

РУК. ПОЛЕВОЙ ГРУППЫ

М.СТАРИКОВ
/СТАРИКОВ М.Д./

РУК. КОНСТР. ВДРО

Н.СОКОЛОВ
/СОКОЛОВ Н.П./



Таблица № 5.

Количество испаряющейся воды в пароводяной ру-
баше газогенератора без избытка воздуха за 1-ю
час работ при различном уровне воды.

№	Состав	Час ра- боты	Продо- дукт	нагрузка	Общий расход	на 1 час
1.	состав: 100% газогенератора	1	вода	0	89,3	+5
2.	16/IX 78	1	60	41,6	+1	11,0
3.	7/IX 90	1	-0	24,9	-77	11,3
4.	24/VIII 100	1	60	59,7	+2	12,6
5.	20/VIII 115	1	60	40,3	+1	12,7
6.	22/VIII 140	1	20	40,6	+2	18,8
7.	24/VIII 150	1	10	29,3	+3	42,5

Таблица № 6.

Несмотря на испарение вода в паровой
рубашке во временем прогрева газогенератора
без засорения трубы при установившихся уров-
нях 120 и 80 на 20/3 и 16/D.

Таблица № 7.

Количество испаряющейся воды в пароводяной
рубашке по временному прогрева газогенератора
без подачи топлива при установленном уровне
на 100мм. 24/3.

н/п	Высота уровня в мм.	Часы работы газогенератора без разгрузки	Общий расход воды, поступающей в пароводяную рубашку в кг.	давление в пароводяной рубашке в м.в.с.	нагрузка в л.с.
1.	100	1	12,8	2,0	39,3
2.	90	2	15,4	3,5	39,3
3.	80	3	19,1	2,0	39,2
4.	70	4	20,0	4,0	38,3
5.	65	5	25,1	6,0	35,2
6.	60	6	28,0	8,5	32,3
7.	54	7	16,0	4,0	37,2
8.	54	8	18,1	2,0	34,3
9.	58	9	18,6	2,0	33,2
10.	52	10	18,4	2,0	33,2
11.	55	11	18,6	2,0	33,3
12.	50	11-30	19,0	1,5	35,2
13.	52	12-30	18,6	3,0	33,3
14.	50	13-30	16,0	5,0	33,3

卷之三

Количество золы, шлака и угля удаленного при проворачивании
барботанной решетки.

Н.П.	Дата	После какого часа произведена шуровка	Всего пропущлось отходов в золнике			Урд	Урд	Урд	Урд
			З о л и м	Ш л а к о м	КР.				
1.	27/IX	1	0,35	8,5	0,65	16	3,05	72,5	4,05
2.	28/IX	4	0,40	10,0	0,95	24	3,65	66,0	4,00
3.	28-29/IX	7 и 8,5	0,70	6,6	2,10	19,4	3,00	74,0	10,80
4.	29/IX	11,5	0,20	2,3	0,32	11,2	6,35	80,0	7,97
5.	29/IX	14,5	0,55	6,2	0,43	11,8	3,35	82,0	4,08
6.	30/IX	14,5	0,35	13	0,33	27,5	1,05	34,5	1,93
7.	30/IX	15,5	0,25	8,1	0,35	27,4	2,00	64,1	3,10
8.	30/IX	15,9	0,20	5,9	1,00	30,0	2,15	64,5	3,35
9.	30/X	17,5	0,70	6,0	1,00	8,5	10,00	85,5	11,70
	Итого выгружено при шуровках решеток	3,40	6,7	3,38	16,6	33,60	76,7	50,38	

ПРИМЕЧАНИЕ: х/р распределено по средним значениям.

х/ При повороте решетки на 180°.

Таблица № 9

**СРАВНЕНИЕ ПАРАМЕТРОВ
ГАЗОГЕНЕРАТОРОВ ДЛЯ ТОЛЛЕВ**

п/п	Параметры	Единицы измерения	С гладкой колосниковой решеткой		С барботиной вращающейся решеткой
			1 :	2 :	
1 :	2 :	3 :	4 :	5	
1.	Диаметр шахты	мм.	510	510	
2.	Высота активного слоя топлива	мм.	470	374	
3.	Объем активной зоны	л.	102	76,2	
4.	Удельный объем камеры для 45% С.А.	л/д.с.	2,34	1,7	
5.	Напряженность горения / по диаметру шахты/	кг/м ² час	118	118	
6.	Площадь сечения шахты газогенератора	м ²	0,2	0,2	
7.	Проходное сечение для воздуха в колосниковой решетке.....	м ²	0,01	0,018	
8.	Размеры пароводяной рубашки:				
	высота.....	мм.	400	400	
	ширина.....	мм.	15	15	
9.	Размеры воздухонагревателя:				
	высота.....	мм.	103	103	
	ширина.....	мм.	22,5	22,5	
10.	Габариты зольника:				
	используем. высота	мм.	120	167	
	объем.....	л.	21,8	35	
11.	Объем бункера.....	л.	132,5	133	
12.	Габаритные размеры газогенератора.				
	высота....	мм.	1600	1750	
	ширина....	мм.	580	580	

Листок 11.

Распределение концентрации золы и шлака в котельном и оставшихся
за 20 ч. сжигания испытанных разбродов на разнотипах
с определением разницы..

No разн	Кг	V. A. L. e. H. O.				Oct. shock				N. T. O. G.			
		Золы	Шлак	Бесцв.	Цвета	Золы	Шлак	Бесцв.	Цвета	Золы	Шлак	Бесцв.	Цвета
В 33	70	71	100	24	76	100	27	73	-	100	-	-	-
В 7 в theory	60	56	93	43	44	42	-	-	-	-	-	-	-

Таблица № 12.

Значение технического анаэробного полугенерса за время

испытаний.

Номер	Пар-тия	Размерность в мм	Генератор	Высокая мощность в кВт	Сольность в % Ас		Примечание
					2	3	
					4	5	
1. 29/III	I	10 40	УГ-1 с плоской решеткой без изоляции	20,63	5,24		
2. 29/III	"	10 40	"	6,45			
3. 29/III	"	10 40	"	6,5			
4. 1/IV	II	10 40	"	7,8	9,3		
5. 12/IV	"	10 40	"	7,8	4,71		
6. 24/IV	"	10 40	"	10,7	2,35		
7. 25/IV	III	10 40	"	20,22	7,14		
8. 10/IX	"	10 40	"	20,36			
9. 15/IX	"	10 40	"	12,72	8,41		
10. 19/IX	"	10 40	"	11,45	4,0		
11. 19/IX	"	10 40	"	17,66	4,15		
12. 30/XII	"	10 40	УГ-1 с плоской решеткой с изоляцией	10,27	-		
13. 1/III	"	10 40	"	10,21	-		
14. 3/III	"	10 40	"	14,37	-		
15. 6/III	"	10 40	"	18,61	-		
16. 6/III	"	10 40	"	12,89	-		
17. 8/III	"	10 40	"	13,61	-		
18. 9/III	"	10 40	"	12,77	-		
19. 9/III	"	10 40	"	12,66	-		
20. 10/XII	"	10 40	"	14,22	-		
21. 19/XII	"	10 40	УГ-2	9,04	-		
22. 20/XII	"	10 40	"	10,73	-		
23. 22/XII	I	10 40	УГ-1 с плоской решеткой	10,6	5,9		Анализ надежности

Таблица № 19.

Данные технического анализа полуокна за время испытаний.

Дата	Пар- тия	Размер- ность в мм.	Генератор	Дозимо- сть в μ WP	Вольно- сть в A A_c	Примеч- ние.				
							2	3	4	
							5	6	7	8
22/IX	1	10 40	БГ-1 с врача- ющимся револ- юкой	11,5						
23/IX	II	10 40	-"		28,39	1,85				
24/IX	II	10 40	-"		4,28	1,44				
25/IX	"	10 40	-"		7,46	3,13				
4/X	"	10 40	-"		31,39	3,53				
5/X	"	10 40	-"		12,13	6,13				
6/X	"	10 40	-"		5,48					
11/X	"	10 40	-"		14,58	3,48				
11/X	"	10 40	-"		7,09	3,47				
11/X	"	10 40	-"		11,6	4,58				
12/X	*	10 40	-"		7,09					
19/X	"	10 40	-"		11,51	4,47				
20/X	"	10 40	-"		8,14	5,06				
21/X	"	10 40	-"		9,85	4,7.				

Таблица № 14.

Время работы газогенератора на получение ручным
вентилятором и время перегода двигателя
на газ

№	Работа газогенератора					Дата	Работа газогенератора				
	Ходод. в мин.	Горят. в мин.	Продолжит. стоянки.	Продолжительность периода горения газогенератора	Горят. в мин.		Горят. в мин.	Горят. в мин.	Продолжит. стаянки.	Продолжительность периода горения газогенератора	Горят. в мин.
	2	3	4	5	6	7	8	9	10	11	
III 14	-	-	-	2	2/IX	22	-	-	4	30	
III -	2	19 ч.	2	-	-	-	10	2-30	2	-	
- -	4	1-19	1	3/IX	-	-	6	16-30	9	-	
III -	8	16-30	1	-	-	-	3	19	2	-	
- -	8	14	0,5	6/IX	-	-	5	17 ч.	-	-	
- -	12	238	0,5	-	-	-	7	42	2	-	
III 20	-	-	2	-	-	-	5	1-40	2	-	
- -	5	23	0,5	7/IX	-	-	-	-	-	6	
III 12	-	-	1	-	-	-	11	3 ч.	3	-	
III -	3	15ч.	4	8/IX	-	-	6	-	-	6	
- -	3	3ч.	2	10/IX	-	-	4	1.4.	5	-	
III -	7	26ч.	3	-	-	-	7	50	1	-	
III 19	-	-	7	-	-	-	11	1-40	1	-	
- -	9	-3ч.	3	12/IX	-	-	5	17ч. 2,	-	-	
III 31	-	-	5	-	-	-	-	-	2	1,5	
- -	6	1-30	3	13/IX	-	-	3	10ч. 4	-	-	
- -	8	23ч.	2	14/IX	-	-	3	10ч. 0,5	-	-	
- -	9	1-45	2	-	-	-	5	20	2	-	
III 15	-	-	4	15/IX	-	-	7	15ч. 2	-	-	
- -	-	6	1	16/IX	18	-	-	-	6	-	
III 14	-	-	3	17/IX	-	-	5	30	2	-	
- -	6	1-10 17ч.	2	19/IX	-	10	10	13ч. 2	-	-	
- -	6	1-10 17ч.	2	-	-	10	20	4	-	-	

1 : 2 : 3 : 4 : 5 : 6 : 7 : 8 : 9 : 10

24/VII 8 - - 7
- - - 4 2-12 1
25/VIII - a 15v. 3

Таблица № 15.

СРАВНИТЕЛЬНЫЕ ЗНАЧЕНИЯ НОВЫХ АЛМАТИЧЕСКИХ ПОСЕЛЕНИЙ

ПАССАЖИРСКОГО ИЛИ ТОРГ. ТОВАРІВ

Номер поселения	Население в 1910 г.	Площадь земельных участков	Площадь занятых земель	Площадь земель в км. ²		Число жителей
				Пашни	Леса	
1	17	2	0,38	—	0,22	20
2	12	2	0,19	—	—	20
3	14	2	0,25	—	—	20
4	17	2	0,38	—	—	20
5	17	2	0,38	—	—	20
6	17	2	0,38	—	—	20
7	17	2	0,38	—	—	20
8	17	2	0,38	—	—	20
9	17	2	0,38	—	—	20
10	17	2	0,38	—	—	20
11	17	2	0,38	—	—	20
12	17	2	0,38	—	—	20
13	17	2	0,38	—	—	20
14	17	2	0,38	—	—	20
15	17	2	0,38	—	—	20
16	17	2	0,38	—	—	20
17	17	2	0,38	—	—	20
18	17	2	0,38	—	—	20
19	17	2	0,38	—	—	20
20	17	2	0,38	—	—	20
21	17	2	0,38	—	—	20
22	17	2	0,38	—	—	20
23	17	2	0,38	—	—	20
24	17	2	0,38	—	—	20
25	17	2	0,38	—	—	20
26	17	2	0,38	—	—	20
27	17	2	0,38	—	—	20
28	17	2	0,38	—	—	20
29	17	2	0,38	—	—	20
30	17	2	0,38	—	—	20
31	17	2	0,38	—	—	20
32	17	2	0,38	—	—	20
33	17	2	0,38	—	—	20
34	17	2	0,38	—	—	20
35	17	2	0,38	—	—	20
36	17	2	0,38	—	—	20
37	17	2	0,38	—	—	20
38	17	2	0,38	—	—	20
39	17	2	0,38	—	—	20
40	17	2	0,38	—	—	20
41	17	2	0,38	—	—	20
42	17	2	0,38	—	—	20
43	17	2	0,38	—	—	20
44	17	2	0,38	—	—	20
45	17	2	0,38	—	—	20
46	17	2	0,38	—	—	20
47	17	2	0,38	—	—	20
48	17	2	0,38	—	—	20
49	17	2	0,38	—	—	20
50	17	2	0,38	—	—	20
51	17	2	0,38	—	—	20
52	17	2	0,38	—	—	20
53	17	2	0,38	—	—	20
54	17	2	0,38	—	—	20
55	17	2	0,38	—	—	20
56	17	2	0,38	—	—	20
57	17	2	0,38	—	—	20
58	17	2	0,38	—	—	20
59	17	2	0,38	—	—	20
60	17	2	0,38	—	—	20
61	17	2	0,38	—	—	20
62	17	2	0,38	—	—	20
63	17	2	0,38	—	—	20
64	17	2	0,38	—	—	20
65	17	2	0,38	—	—	20
66	17	2	0,38	—	—	20
67	17	2	0,38	—	—	20
68	17	2	0,38	—	—	20
69	17	2	0,38	—	—	20
70	17	2	0,38	—	—	20
71	17	2	0,38	—	—	20
72	17	2	0,38	—	—	20
73	17	2	0,38	—	—	20
74	17	2	0,38	—	—	20
75	17	2	0,38	—	—	20
76	17	2	0,38	—	—	20
77	17	2	0,38	—	—	20
78	17	2	0,38	—	—	20
79	17	2	0,38	—	—	20
80	17	2	0,38	—	—	20
81	17	2	0,38	—	—	20
82	17	2	0,38	—	—	20
83	17	2	0,38	—	—	20
84	17	2	0,38	—	—	20
85	17	2	0,38	—	—	20
86	17	2	0,38	—	—	20
87	17	2	0,38	—	—	20
88	17	2	0,38	—	—	20
89	17	2	0,38	—	—	20
90	17	2	0,38	—	—	20
91	17	2	0,38	—	—	20
92	17	2	0,38	—	—	20
93	17	2	0,38	—	—	20
94	17	2	0,38	—	—	20
95	17	2	0,38	—	—	20
96	17	2	0,38	—	—	20
97	17	2	0,38	—	—	20
98	17	2	0,38	—	—	20
99	17	2	0,38	—	—	20
100	17	2	0,38	—	—	20
101	17	2	0,38	—	—	20
102	17	2	0,38	—	—	20
103	17	2	0,38	—	—	20
104	17	2	0,38	—	—	20
105	17	2	0,38	—	—	20
106	17	2	0,38	—	—	20
107	17	2	0,38	—	—	20
108	17	2	0,38	—	—	20
109	17	2	0,38	—	—	20
110	17	2	0,38	—	—	20
111	17	2	0,38	—	—	20
112	17	2	0,38	—	—	20
113	17	2	0,38	—	—	20
114	17	2	0,38	—	—	20
115	17	2	0,38	—	—	20
116	17	2	0,38	—	—	20
117	17	2	0,38	—	—	20
118	17	2	0,38	—	—	20
119	17	2	0,38	—	—	20
120	17	2	0,38	—	—	20
121	17	2	0,38	—	—	20
122	17	2	0,38	—	—	20
123	17	2	0,38	—	—	20
124	17	2	0,38	—	—	20
125	17	2	0,38	—	—	20
126	17	2	0,38	—	—	20
127	17	2	0,38	—	—	20
128	17	2	0,38	—	—	20
129	17	2	0,38	—	—	20
130	17	2	0,38	—	—	20
131	17	2	0,38	—	—	20
132	17	2	0,38	—	—	20
133	17	2	0,38	—	—	20
134	17	2	0,38	—	—	20
135	17	2	0,38	—	—	20
136	17	2</				

А К Т

Технического осмотра вспомогательных труб, смесителя, газовой заслонки, тонкого фильтра, охладителя и газопроводов трансформатора АТР-ЛАТИ-УГ-1 с вращающейся барабанной решеткой, после 16 часов работы на дровесном угле.

Техосмотр прошел:

Руководитель инспектор	- СТАРИКОВ И.А.
Ст.техник	- ГЛАРОВ И.А.
Ст.механик	- КУЗНЕЦОВ И.А.
Слесарь-тракторист	- КУЗНЕЦОВ И.В.

При осмотре обнаружено:

Входной коллектор - во входном патрубке вспомогательного коллектора имеются смолистые отложения. Всего удалено отходов 140 грамм. В выходных патрубках смолистых отложений нет, имеется сухое отходы тонкими слоями доходит до 1 см. Высыпающиеся отходы имеют копоти толщиной до 0,3 см.

Смеситель - Стенки смесителя до газовой заслонки и после нее имеют налет отходов толщиной до 3 см в смеси с маслом и смолой, представляющей вид пасты. Со стенок смесителя и газовой заслонки удалено отходов 10 грамм.

Тонкий фильтр - Кольца Радуга в первой секции выделены и имеют небольшой налет отходов, большая часть их чистая, а все отходы сконцентрированы в нижней части секции.

во второй секции кольца Радуга занаселены меньше, но покрыты отходами в большей степени.

Охладитель - в верхней части первой секции имеется отложение кислотных отходов, толщина которых местами доходит до 3 см. Трубы 6,7 и 8 вверху забиты, во второй секции - не забиты, но имеется небольшой налет смолы, а также из стеклянных реоурумуара обнаружены точки с признаками смолы.

Газопроводы - от охладителя к тонкому фильтру имеет сухой налет отходов до 1 см и от тонкого.

жилья к месту и имеет право отхода в течение до 0,5 км
случае увольнения

Подпись:

БАРЫШЕВ М.Д./

БАРЫШЕВ Н.Д./

БАРЫШЕВ М.Д./

БАРЫШЕВ Б.Д./

Копия подписи:

БАРЫШЕВ

НАТИ
отдел
газогенерат.
тракторов.

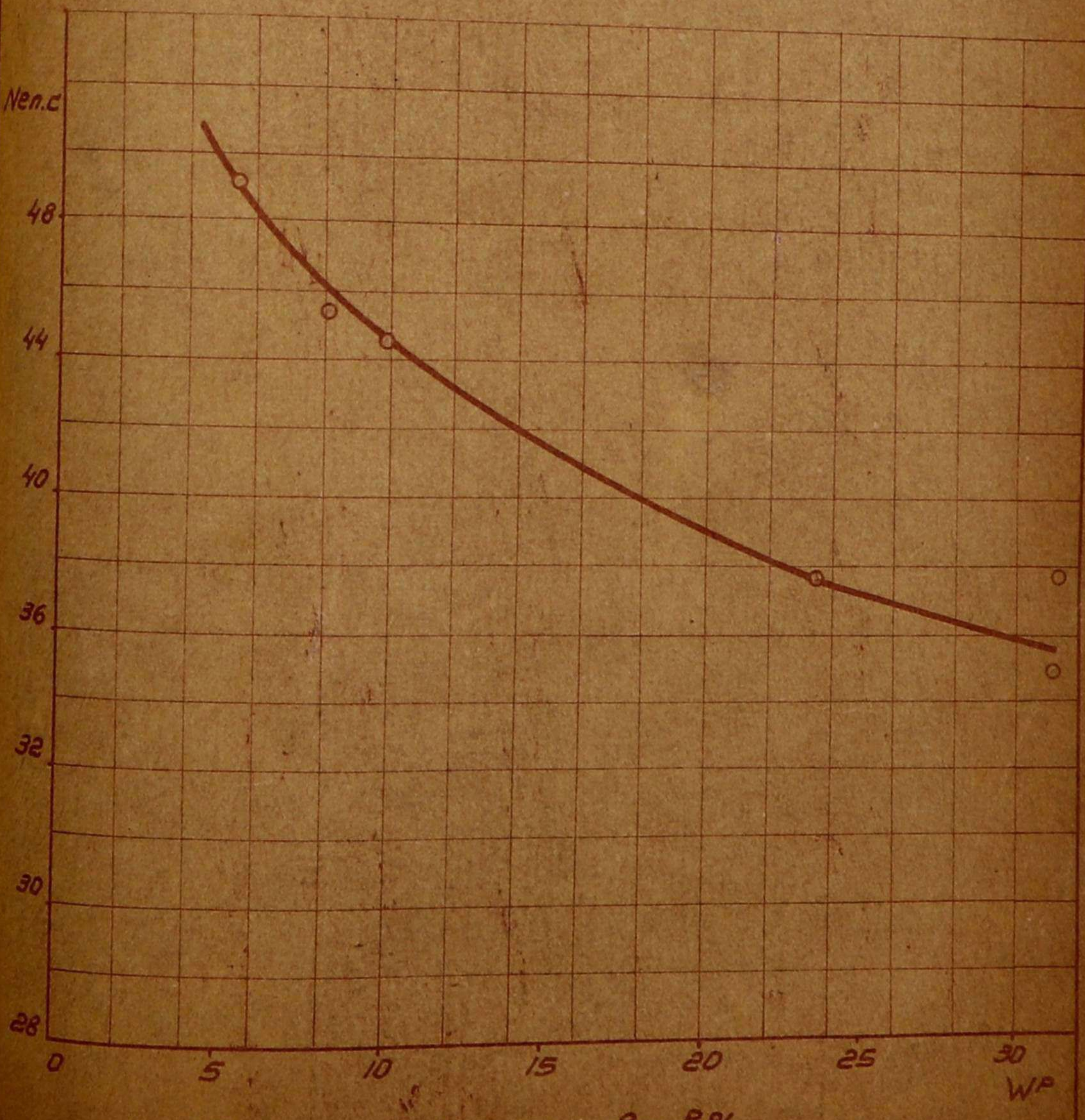
изменение мощности двигателя газогенераторного трактора СХТЗ-НАТИ-УГИ
в зависимости от влажности топлива

Полевая
группа
испытания
трактора

дата 28/ XII испыт. проводил Мельников

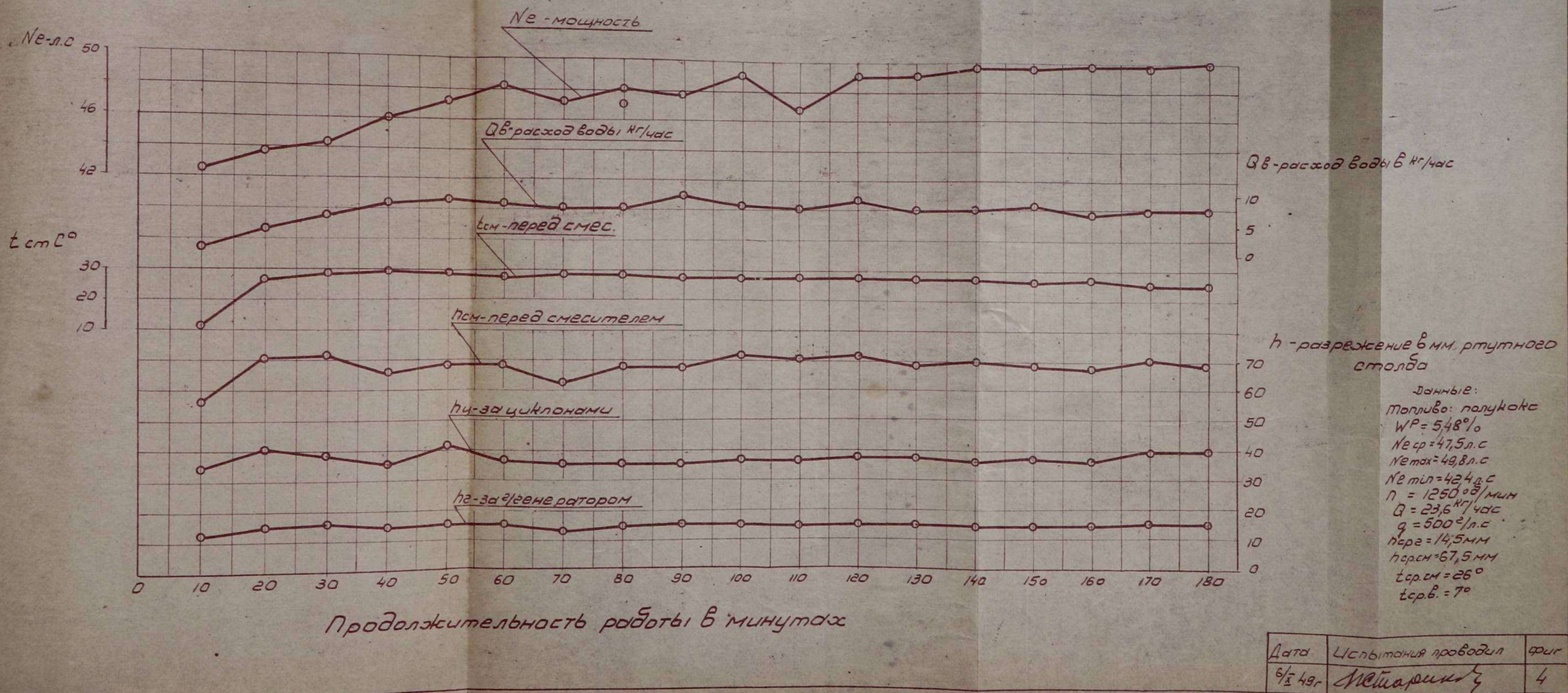
фиг. 3

топливо: полукукса, зольность А ср. - 3,8%
подача воды 8,0 - 9,9 кг/час.
высота активного слоя 374 мм.
газогенератор с брашающейся
заряданной решеткой.



влажность топлива %

Изменение мощности двигателя газогенераторного трактора "СХТЗ-НАТИ-УГ1" при работе на полукоксе. /Вращающаяся барабанная решетка с изоляцией/



НАТИ
газогенератор
отдел

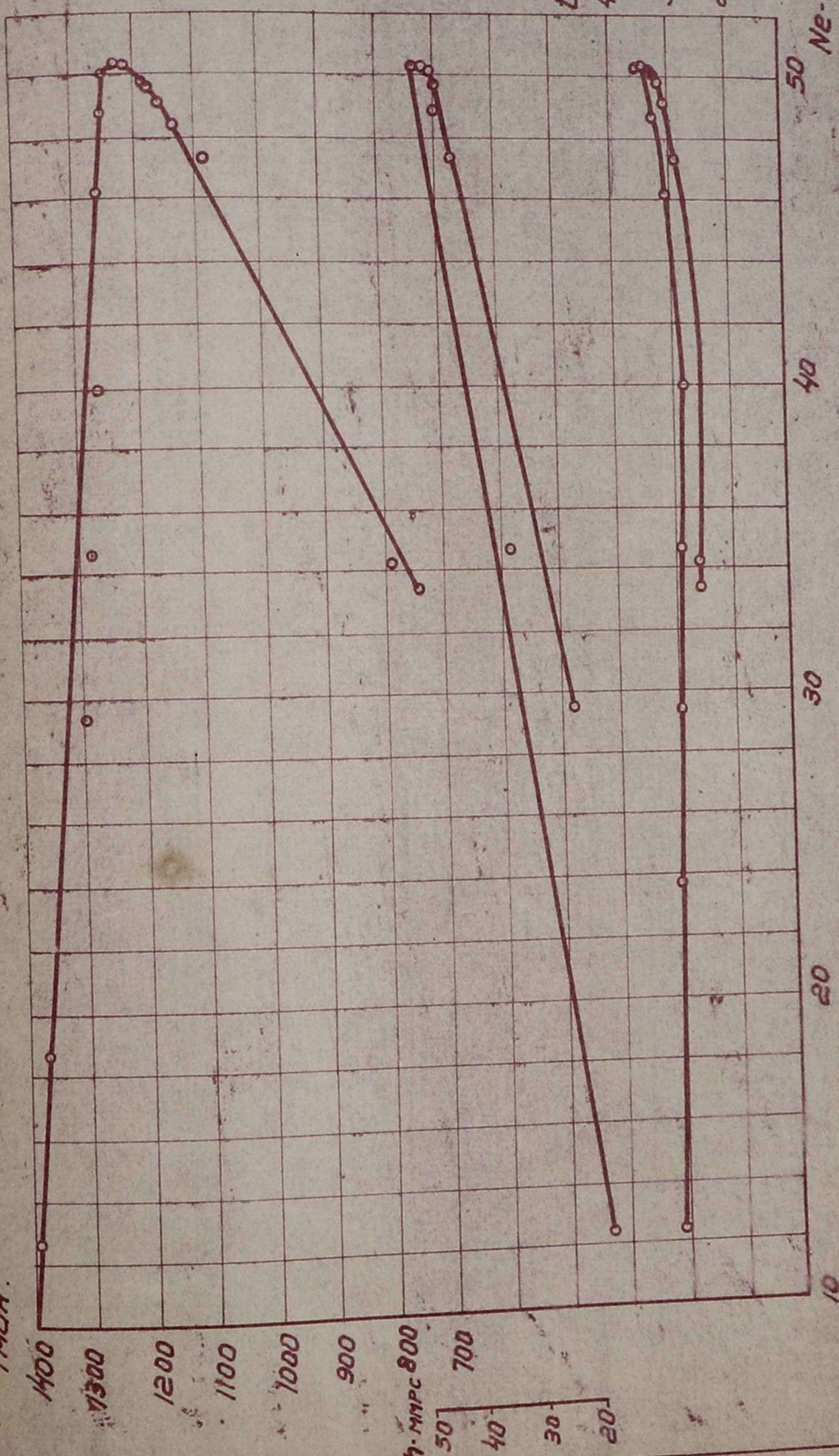
Регуляторная характеристика
двигателя газогенераторного
трактора СХТЗ-НАТИ-УР с
вращающейся решеткой

Полевая
группа
испытаний
тракто-
ров.

Дата 4/ii испыт. проводил Митюрович

фиг. 7

топливо: древесный газолин
длительность $W/R = 20 - 24\%$
влажность $U/R = 5 - 6\%$



НАТИ
газогенератор.
отдел

Внешняя характеристика двигателя газогенераторного трактора "СХТЗ-НАТИ-УГ1 с вращающейся решеткой

полевая
группа
испытания
тракторов
фиг. 8

Dana 581-49 испыт. провод. Испытание

Монитор: деревесный уголь размер кусков

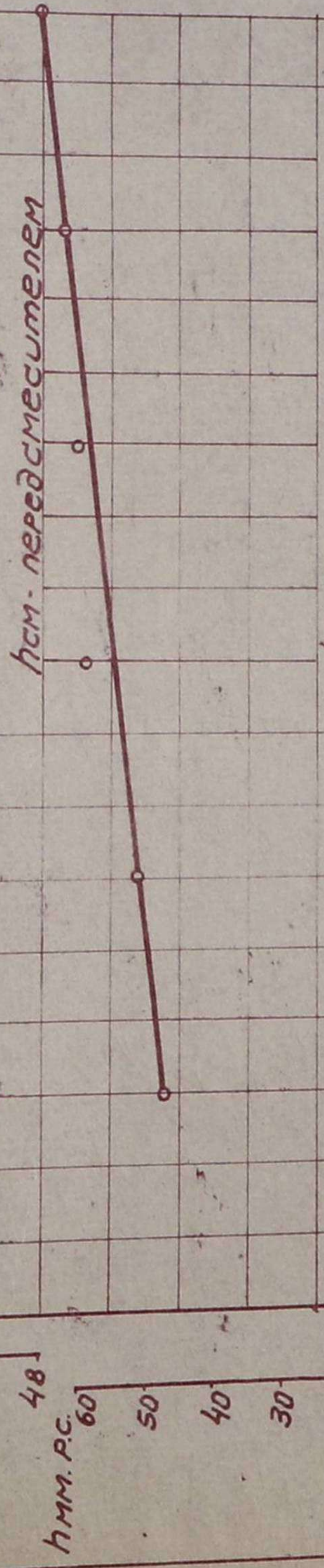
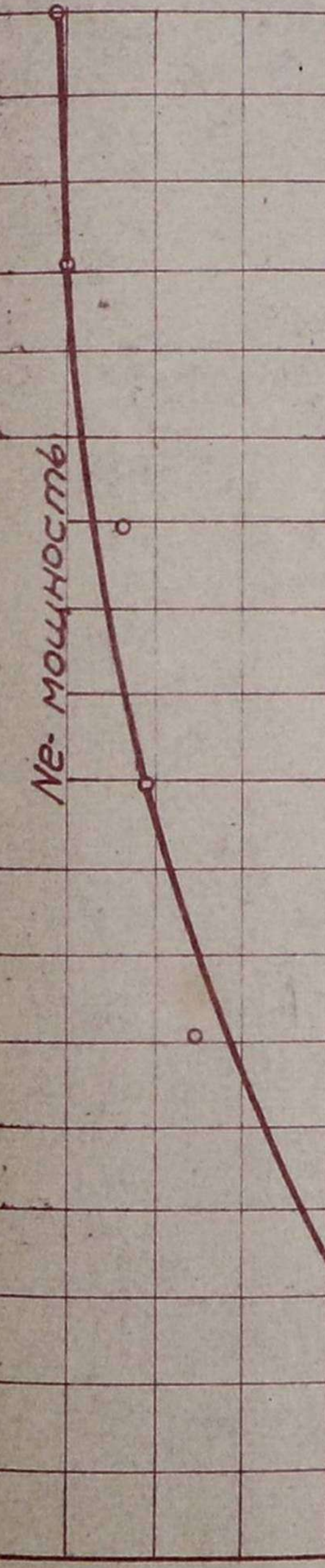
$\vartheta_{\text{ст}} = 20 - 24\%$

влажность $W^{\rho} = 5 - 6\%$

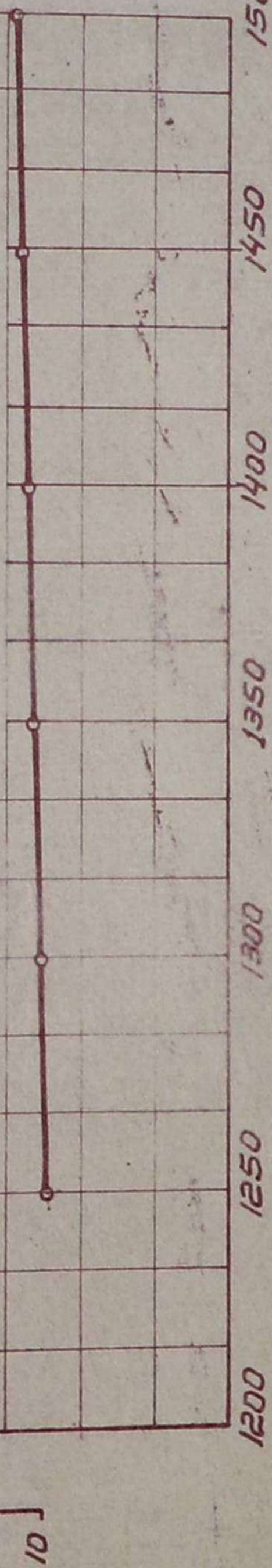
Монитор: деревесный уголь размер кусков

$\vartheta_{\text{ст}} = 21 - 46 \text{ mm.}$

влажность $W^{\rho} = 5 - 6\%$



из-за газогенератором



1200 1250 1300 1350 1400 1450 1500 $\text{kcal}/\text{мин.}$

НАТИ

газогенераторный
отдел

изменение мощности двигателя газогенераторного трактора СХТЗ-НАТИ-УГ1 при 10 ч часовом испытании газогенератора с вращающейся решеткой на древесном угле $\eta = 20-24\%$
 $WP = 8,1\%$

Полевая группа
испытаний
тракторов

Не-л.с.

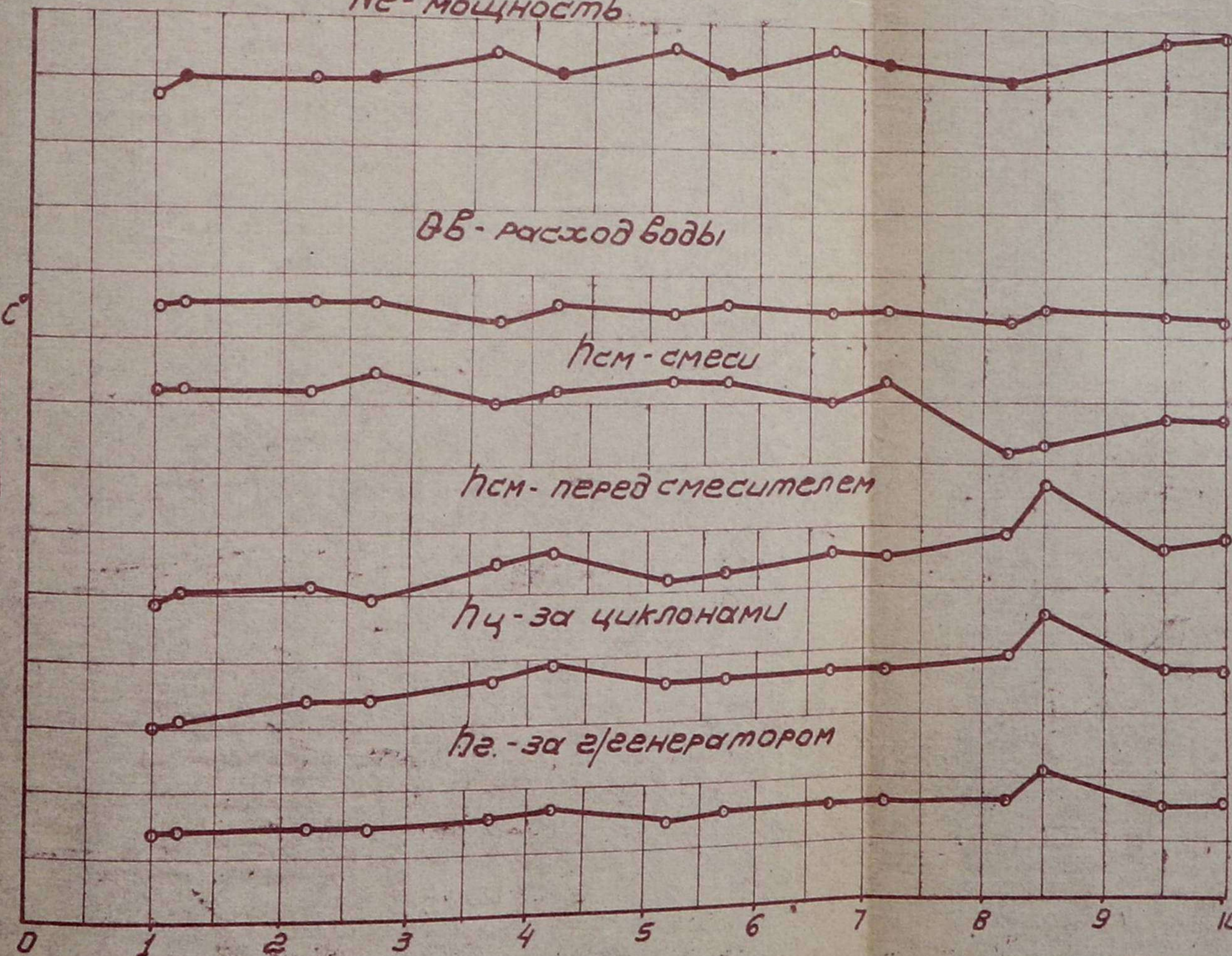
52

48

44

40

36

 t_{cm}° η_{cm} - смеси η_{cm} - перед смесителем η_{c} - за циклонами η_{g} - за генератором

продолжительность работы в часах

• - Дозировка топлива и шуровка

Qb кг/час

10

5

0

Разрежение
 h мм рт.с

60

данные:
 Топливо: древесн.
 уголь разм. Курск.
 20-40
 $WP = 8,1\%$

$Ne_{cr} = 50,7$
 $Ne_{max} = 51,8$ л.с

$Ne_{min} = 49,5$ л.с
 $n = 1250$ об/мин

$\theta_t = 26,4$ кг/час
 $g_T = 520$ г/л.с.

$hcpr_{cr} = 10,4$ мм рт.с
 $hcpr_{sm} = 50$ мм рт.с

$t_{cr, sm} = 36$

$t_{cr, g} = 9^\circ$

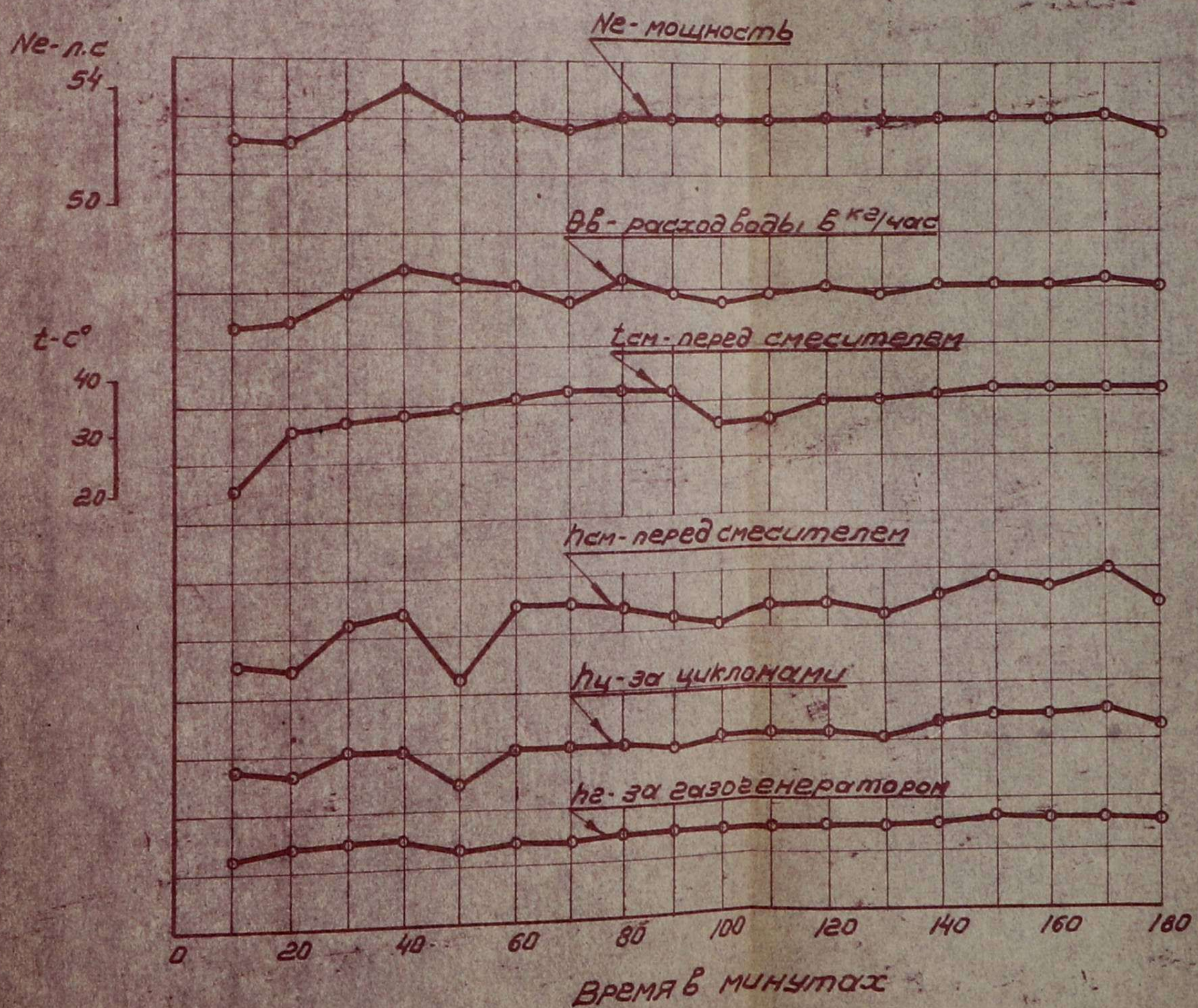
дата	испытания проводил	фиг
27-29/Х	Ильинский	9

НАТИ

газогенераторный
отдел

Изменение мощности двигателя газогенераторного трактора "СХТЗ-НАТИ-ЧГУ" при продолжительном испытании газогенератора на древесном угле с вращающейся решеткой

Полевая группа
испытаний
тракторов



Данные:

Топливо: древесный уголь
Размер кусков 11-20мм.
 $W_P = 5-12\%$ $\bar{U}^r = 20-24\%$
 $N_{ср} = 53 \text{ л.с}$
 $N_{max} = 54 \text{ л.с}$
 $N_{min} = 52 \text{ л.с}$
 $n = 1250 \text{ об/мин.}$
 $Q = 25,1 \text{ кг/час}$
 $q = 474 \text{ г/л.с}$
 $h_{CPA} = 9,3 \text{ мм.}$
 $h_{CPM} = 48 \text{ мм.}$
 $t_{CPM} = 34^\circ$
 $t_{CPA} = 30^\circ$

h - разрежение мм рт.

60
50
40
30
20
10
0

Дата	испытания проводил	фиг.
19/II-49.	М.Смирнов	10

НАТИ

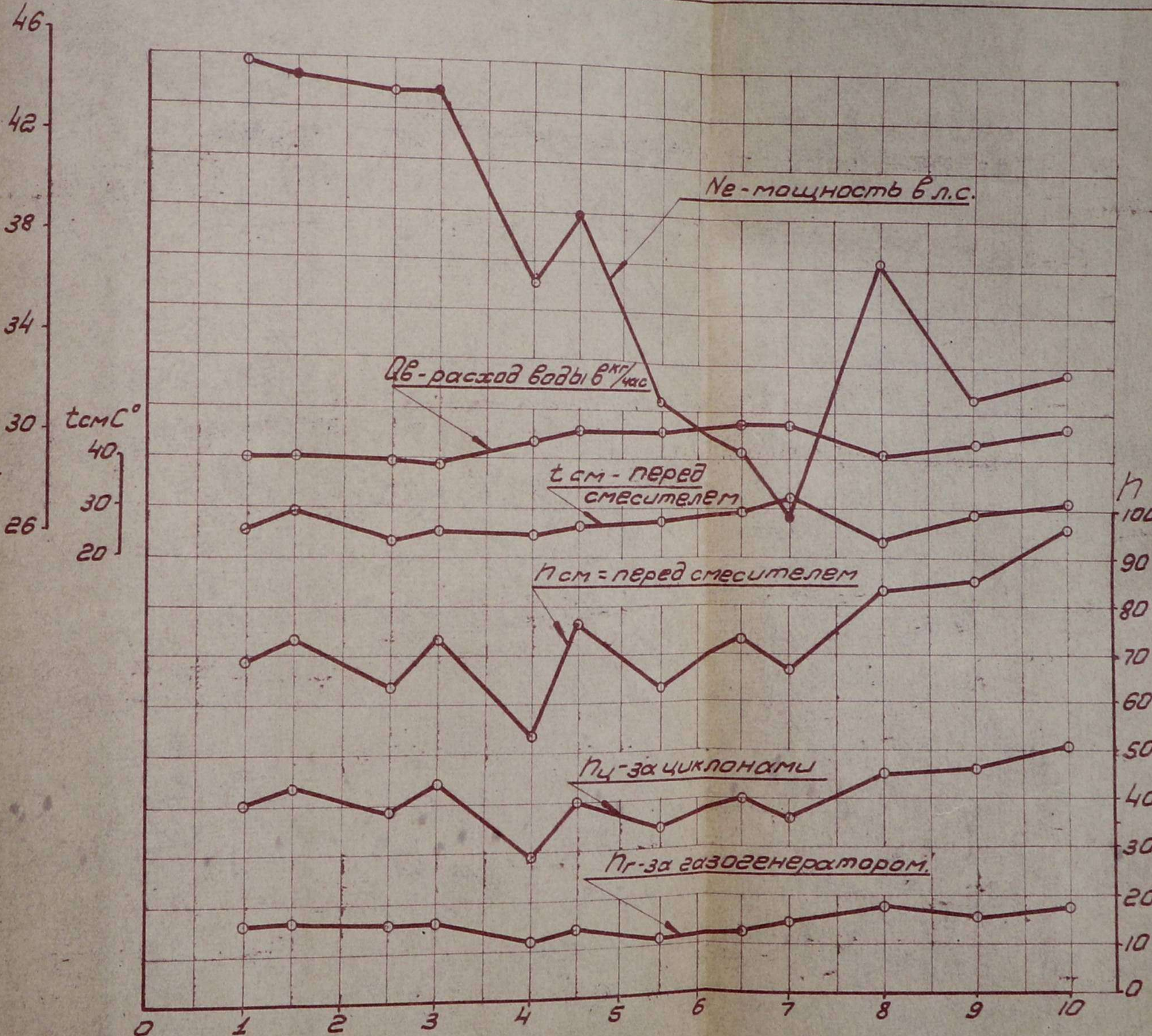
отдел

газогенераторных
тракторов.

Изменение мощности двигателя газогенераторного трактора
"СХТЗ-НАТИ-ЧГ" при продолжительном испытании газогенератора
на антраците (генератор с колосниковой решеткой барабанного типа)

Полевая группа
испытаний
тракторов.

№ п.с.



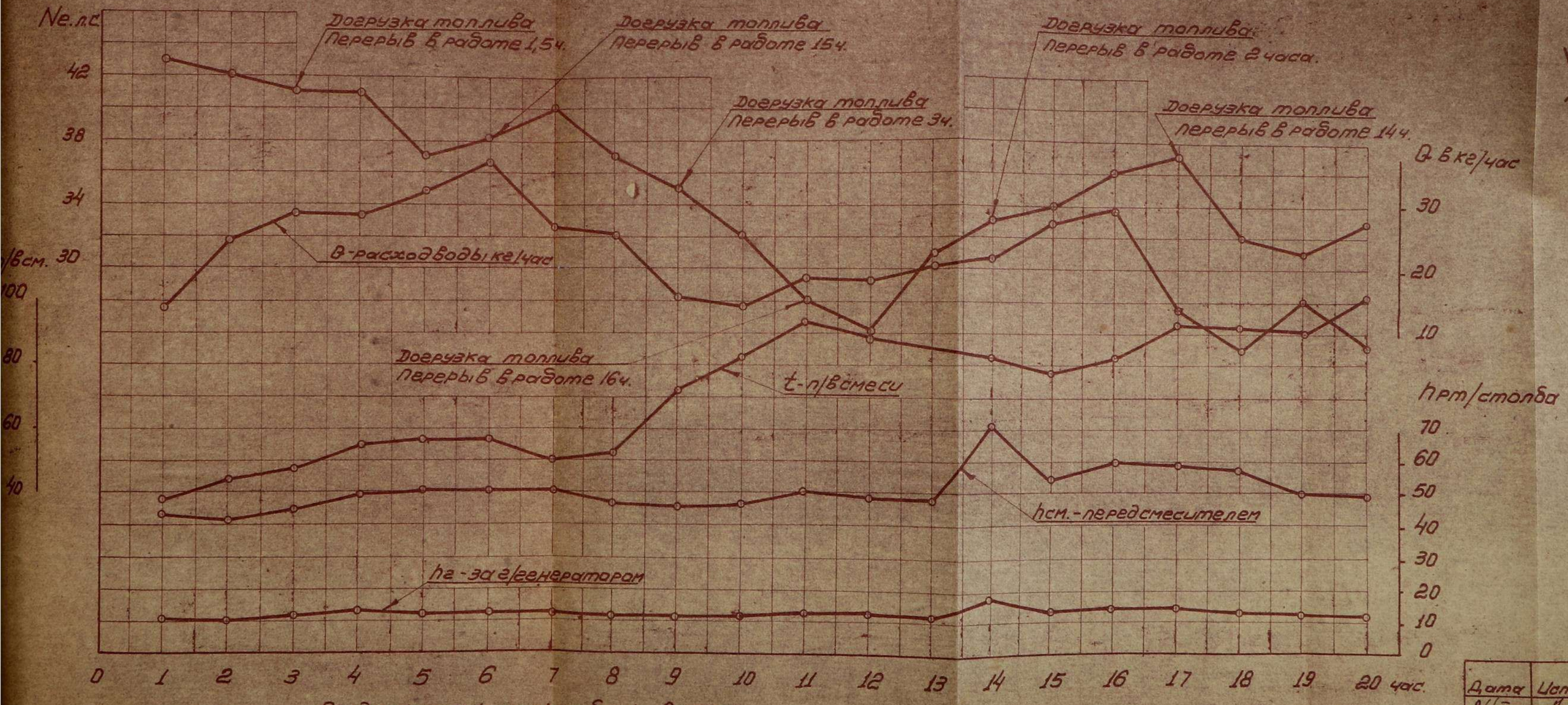
Продолжительность работы в часах
● - Дозаправка топлива и шурваки

Дата	Испытания проводил:	Физ.
22-25/х	М. Стариков	11

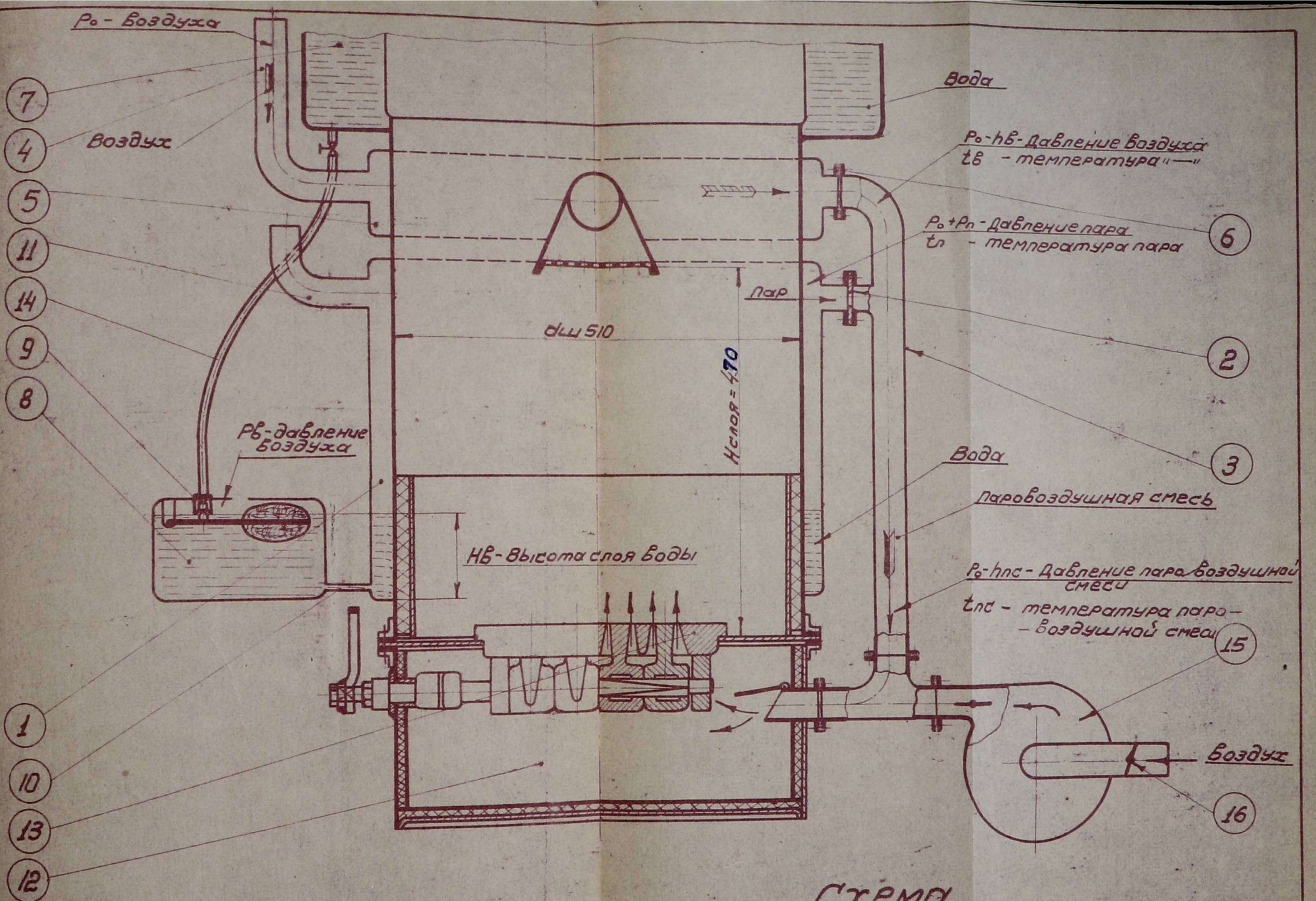
НАМУ
отдел
ЗОВРЕНЕГО ТОРНБ
тракторов

Изменение мощности двигателя газогенераторного тракта "СХГЗ-НАТУ-ЧРГ" при продолжительной работе газогенератора на полукоксе (плоская решетка с подвижными колосниками без изоляции)

Сазоегнегроморнај
лабораторија
тракторнији по-
лигон „Краскобо”



Датя	Цельвітання проводил	фие.
21/VI-99	ІнСтиарик	12



Схема

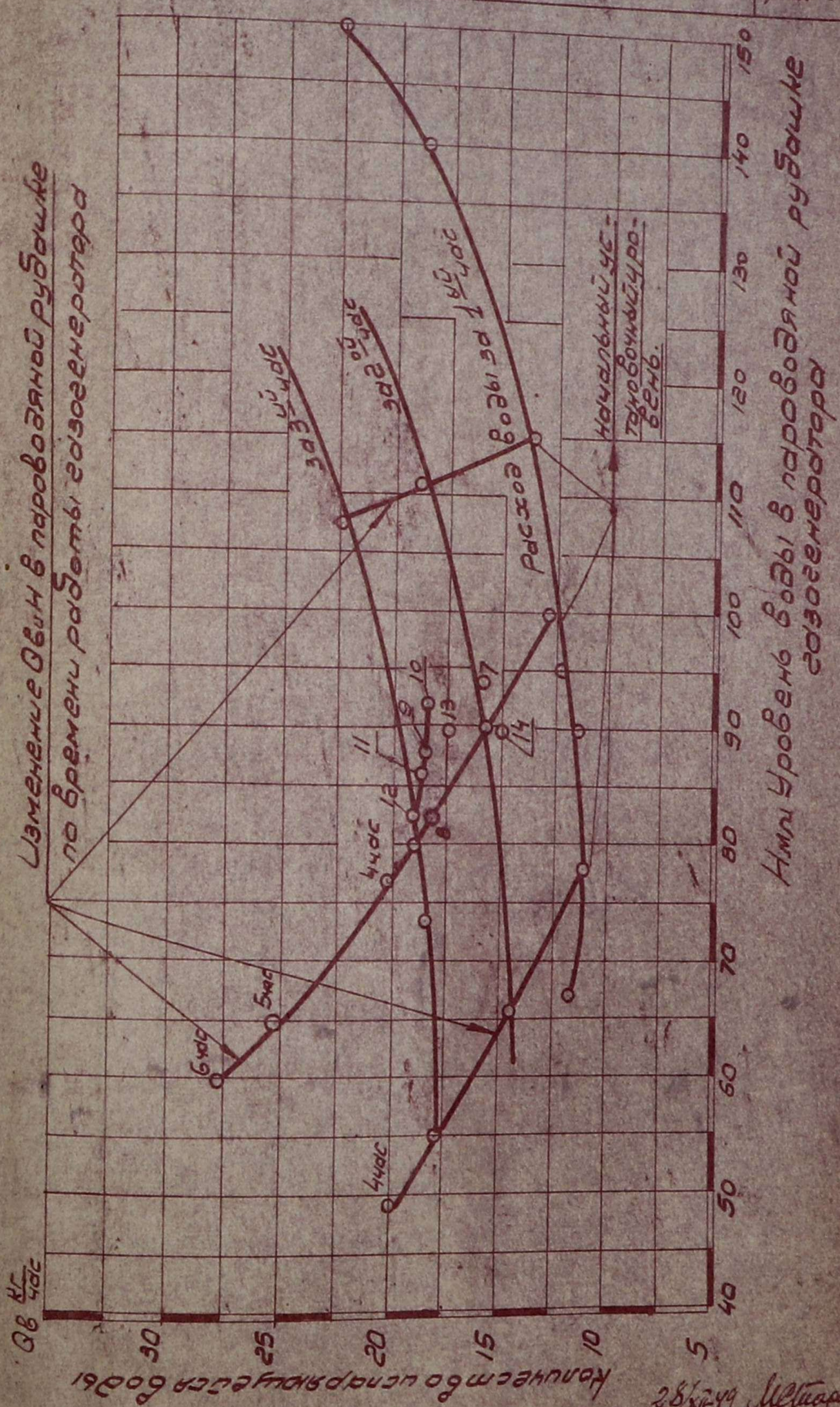
регулирования паровоздушной смеси
в газогенераторе УГ-1

отдел
газоснабж.
тракторов.

Количество бобров, числящихся
в подсобных рудниках села.
Нераторд УГ-1 в зависимости
от уровня воды и времени ра-
боты.

газоснабж.
рд трактор
лаборатория

фиг 14

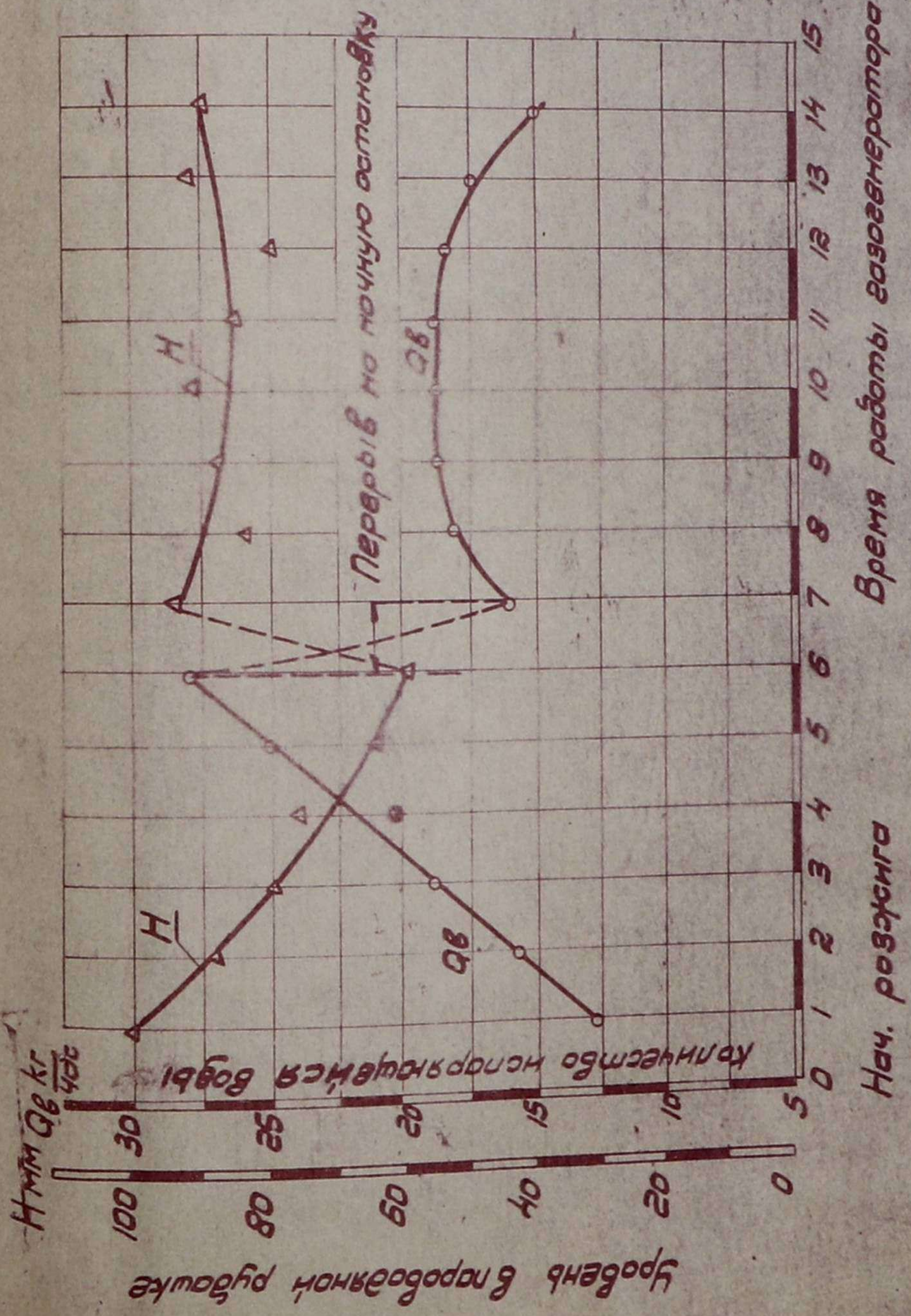


Отдел
газогенераторных
тракторов

Изменение количества испаряющейся воды
и уровня в пароводяной рукошке газогенераторного
трактора УГ-1 в зависимости от времени работы

газогене-
раторная
лаборатория

фиг. 15



28/XI-49 М.С.

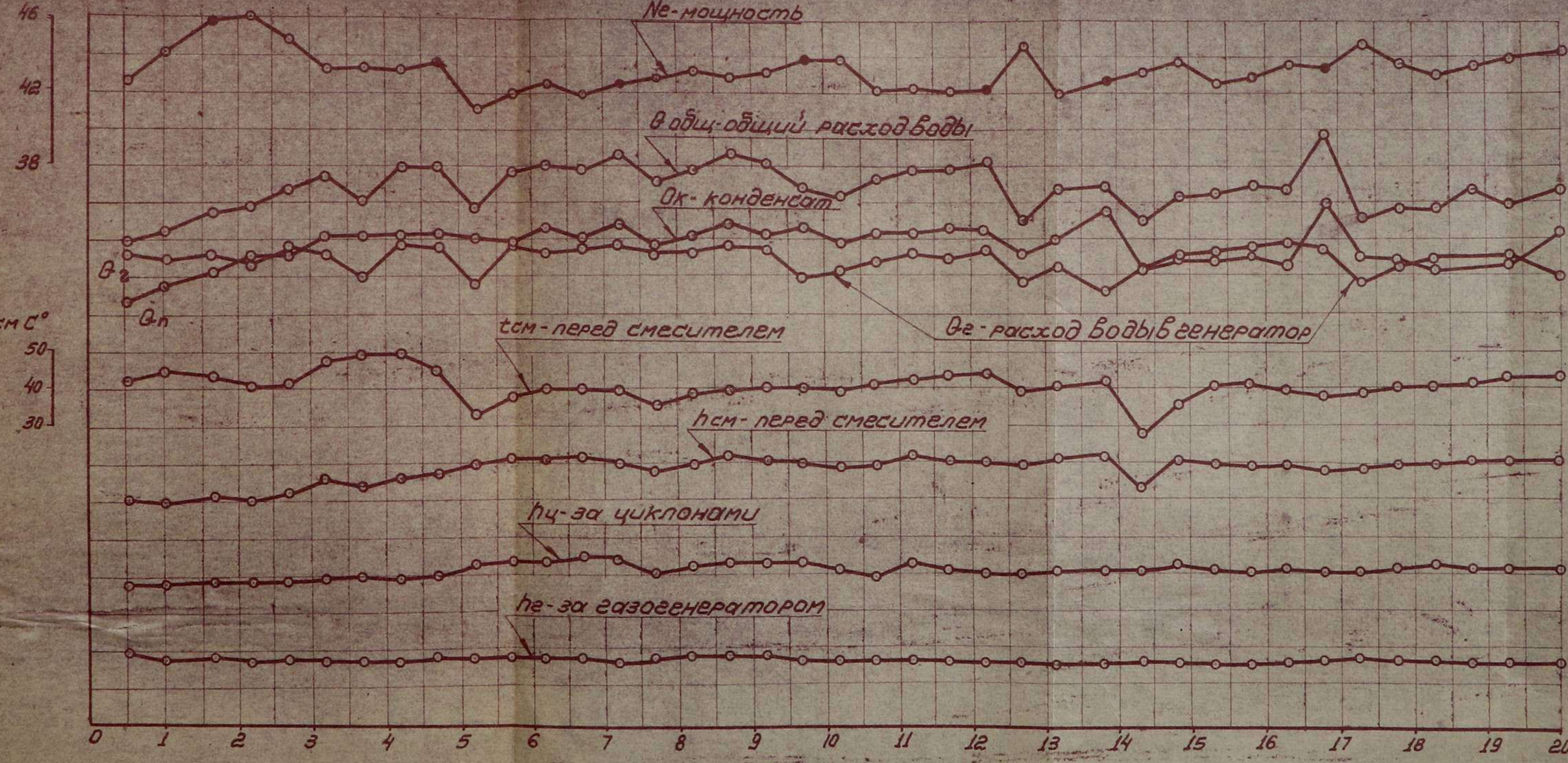
НАТИ

отдел
газогенераторных
тракторов

Изменение мощности двигателя газогенераторного трактора „СХТЗ-НАТИ“ при продолжительном испытании газогенератора с плоской решеткой и подвижными колосниками
(без изоляции с регулировкой оптимальной подачи воды)

полевая группа
испытания
тракторов.

№.п.с

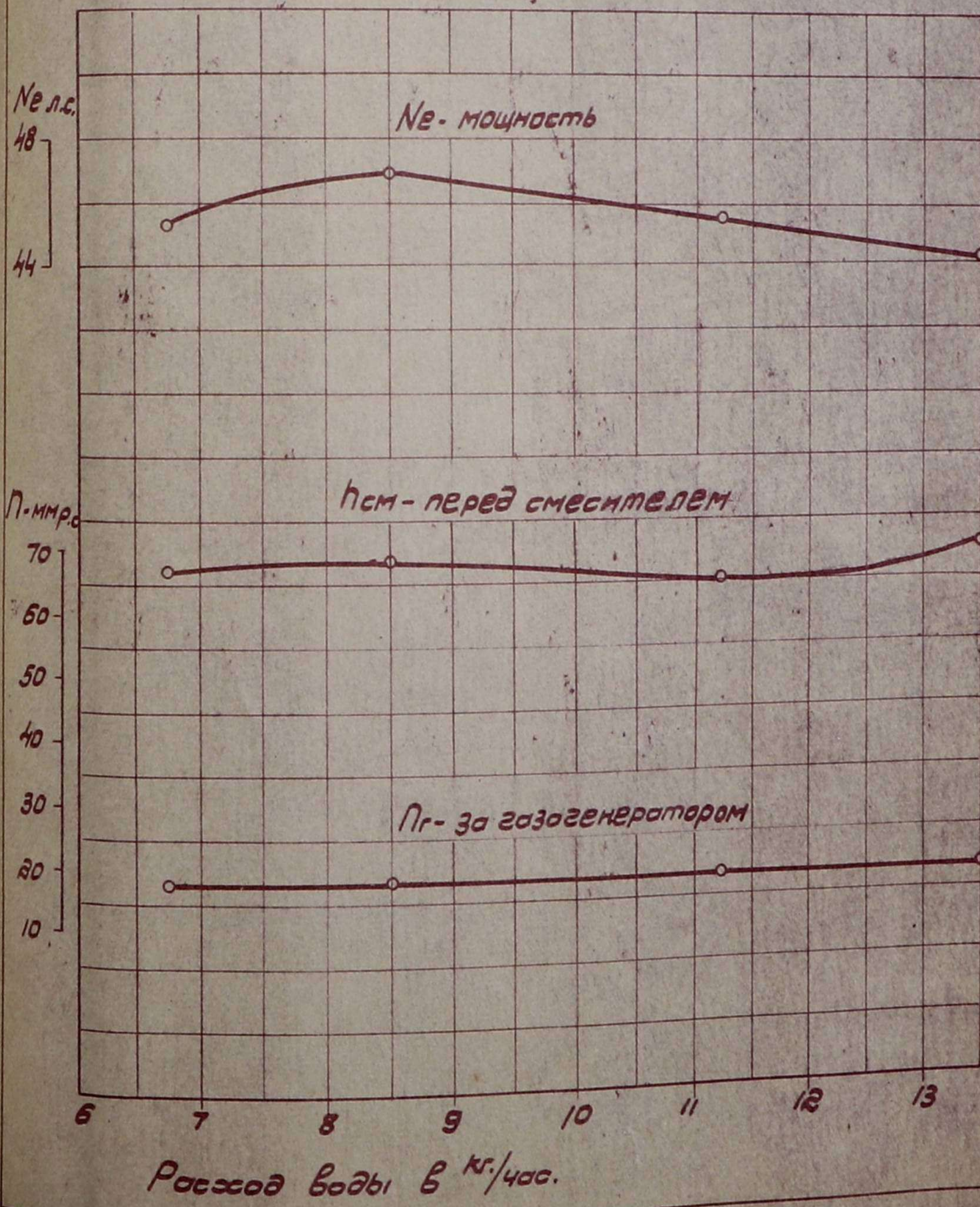


Дата	Испытания проводил	фиг.
16-19 IX	Мельников	16

НАТИ отдел 2030- генераторн. тракторов	Изменение мощности двигателя газогенераторного трактора "СХТЗ- ГЕНЕРАТОРН." НАТИ-УГ1" в зависимости от расхода воды	Полевая группа ис- пытаний тракторов
Дата	13/ XII - 49г. Несыточ. проводил Мешкович	Фиг. 17

Мопливо: полукофе

Влажность $W^P = 14,2\%$

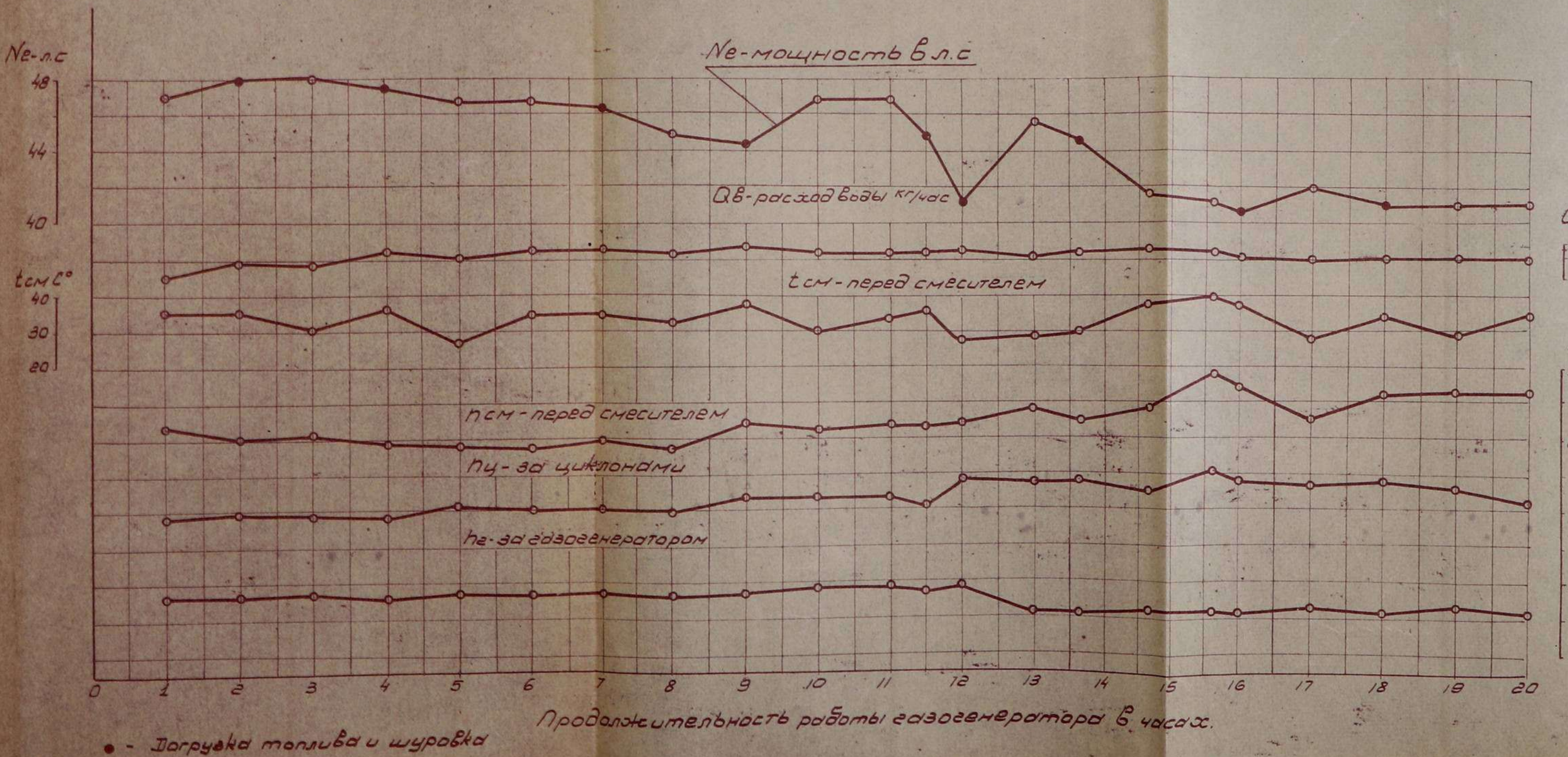


НАТИ

Отдел
газогенератор-
ных тракторов

Изменение мощности двигателя газогенераторного трактора „СХТЗ-НАТИ-УГ1“ при продолжи-
тельном испытании газогенератора с плоской решеткой и подвижными колосниками
на полукаске /Газогенератор с изоляцией Нсоля = 470 мм/

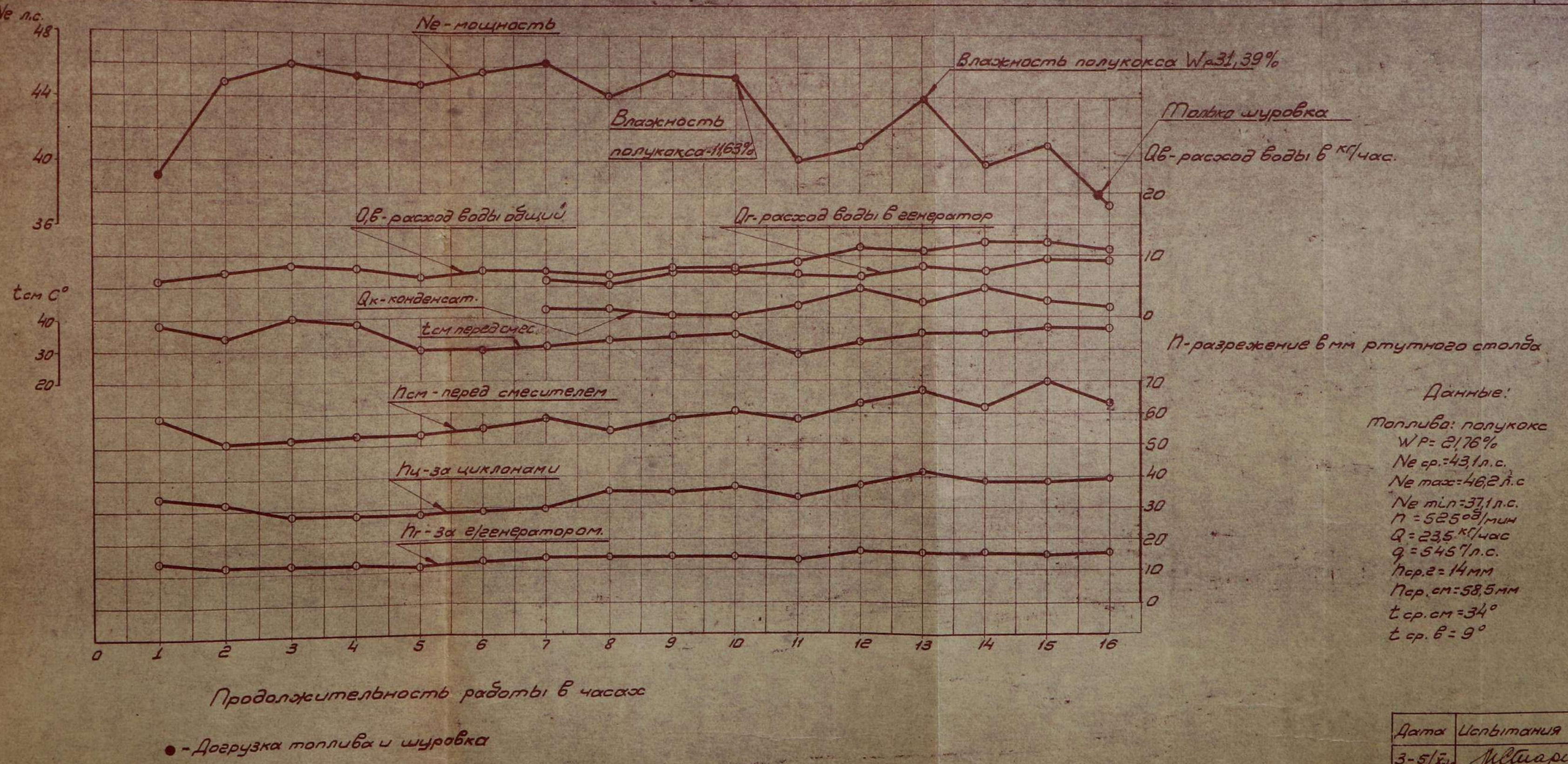
Полевая группа
испытаний
тракторов



Данные:
топливо: полукаск
 $W_P = 12,9 - 14,6\%$ $Q_B = 7,8 \text{ кг/час}$
 $N_{ср} = 44,4 \text{ л.с}$ $\frac{Q_B}{Q_T} = 28,7\%$
 $N_{max} = 48 \text{ л.с}$
 $N_{min} = 40,55 \text{ л.с}$
 $n = 1250 \text{ об/мин}$
 $Q_T = 27,1 \text{ кг/час}$
 $q_T = 610 \text{ кг/л.с}$
 $h_{ср} = 15 \text{ мм}$
 $h_{см.ср} = 65 \text{ мм}$
 $t_{см.ср} = 34,5^\circ$
 $t_B \text{ ср} = 4^\circ$

Дата	Испытания проходил	Физ
6-10/11	Металлический	18

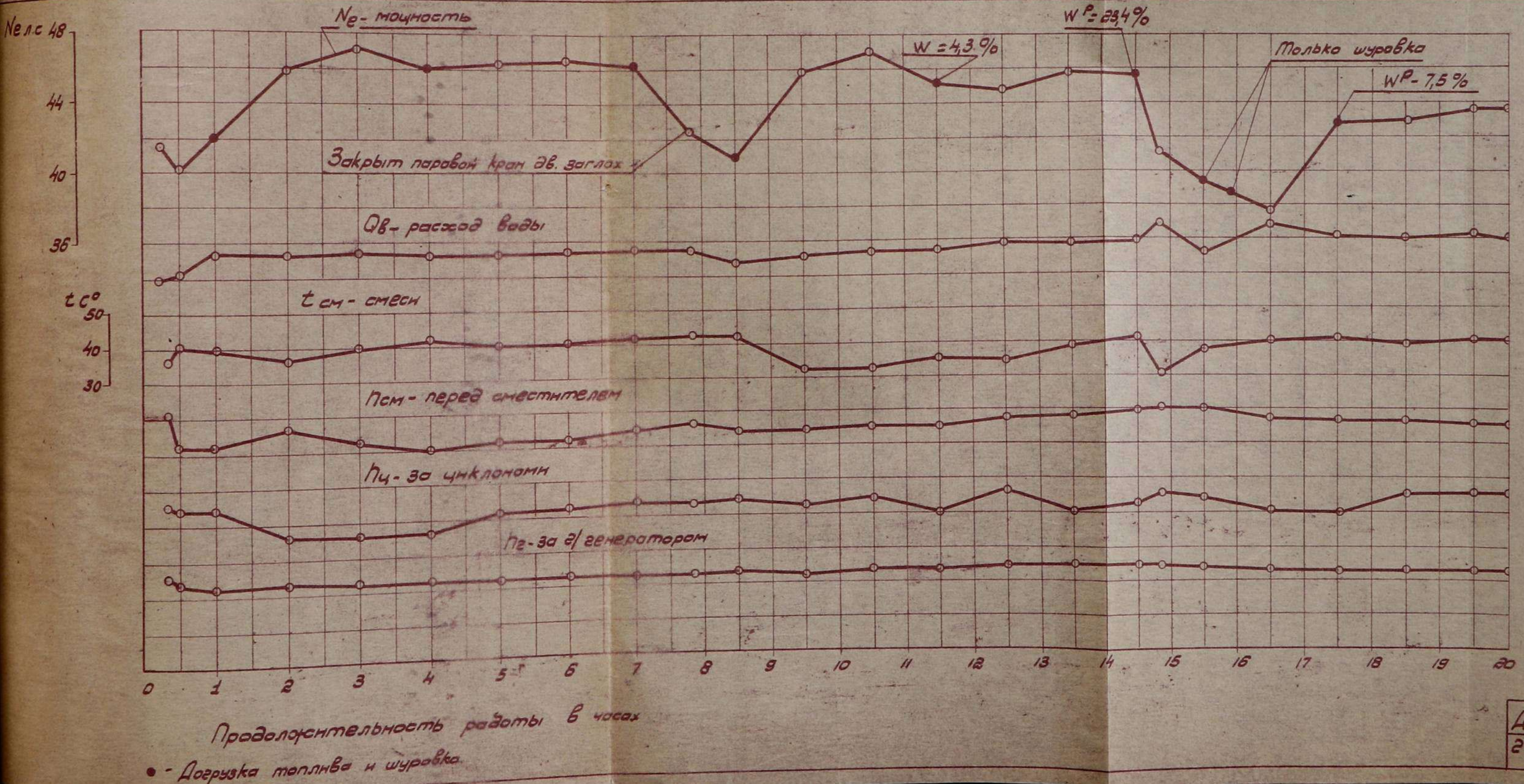
Изменение мощности газогенераторного трактора „СХТЗ-НГТУ-ЧГ1“ при продолжительной работе
газогенератора на каменноугольном полукоксе. (с колосниковой решеткой барабанного типа)



НАТИ
Отдел
Разогенераторных
тракторов

Изменение мощности двигателя газогенераторного трактора „СХТЗ-НАТИ-УГ-1“ при продолжительности работы газогенератора на полукоксе (с вращающейся колосниковой решеткой борозданного типа с изоляцией)

Полевая группа
испытаний трак-
торов.



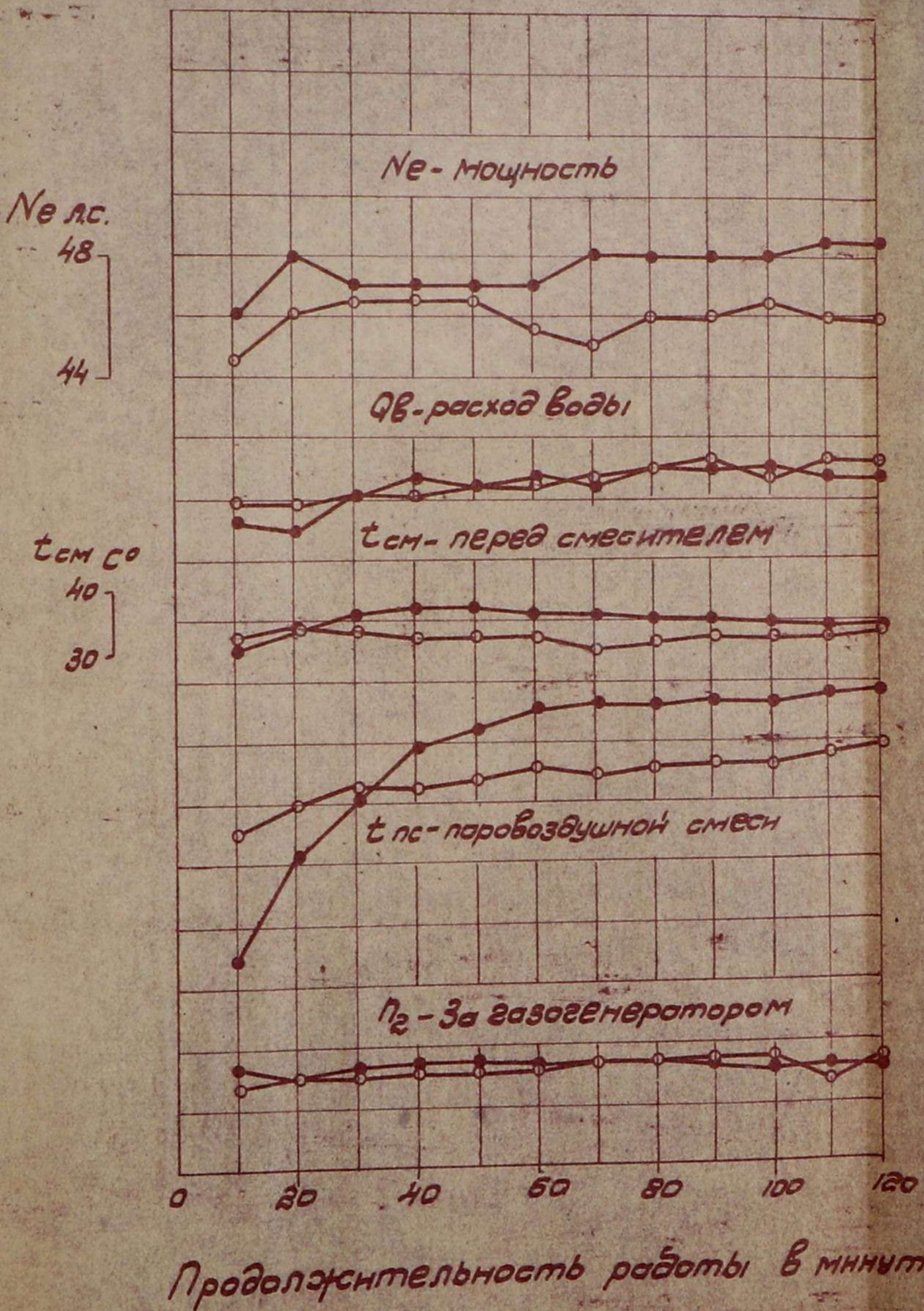
Дата	Испытания проводил:	Фиг.
27-30/х 49г.	Л.Барышев	21

НАТИ

отдел
газогенераторных
тракторов.

Изменение мощности двигателя газогенераторного трактора "СХТЗ-НАТИ-УГ1" при испытании газогенератора на полукубке с различными высотами активного слоя топлива.

Полевая группа
испытаний
тракторов



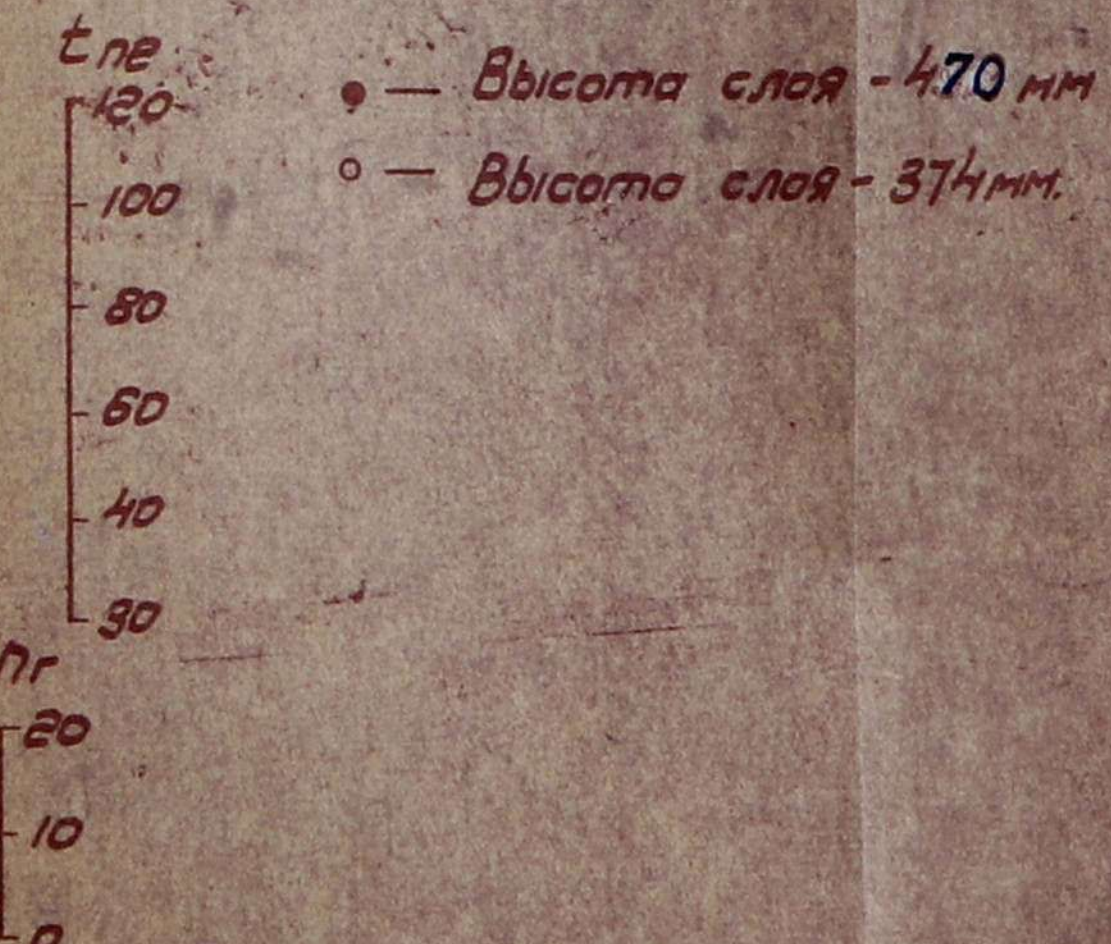
При высоте слоя

H - 470 мм

W^ρ = 13,61%
Neср = 47,4
Ne_{макс} = 48,5 л.с.
Ne_{мин} = 46 л.с.
Q = 23,6 кг/час
Q_в = 500 г/л.с
П = 1250 об/мин.
t_{см}ср = 35
t_{вср} = 50°
Псмср = 61мм.
П₂ср = 16,3мм

H - 374мм

W^ρ = 14,37%
Neср = 46 л.с.
Ne_{макс} = 46,5 л.с.
Ne_{мин} = 44,5 л.с.
Q = 24,4 кг/час
Q_в = 530 г/л.с
П = 1250 об/мин.
t_{см}ср = 33°
t_{вср} = 50°
Псмср = 61мм.
П₂ср = 16мм



Продолжительность работы в минутах

Дата	Испытания проводил	Фиг.
3/ХII-49	Мельниченко	28

18
НАТИ
Отдел
газогенера-
торных
тракторов

Регуляторная характеристика
двигателя газогенераторного трак-
тора "СХТЗ-НАТИ-УГТ"

Дата 13/ XII-49г. Исп. проводил Машарин Фир. № 89

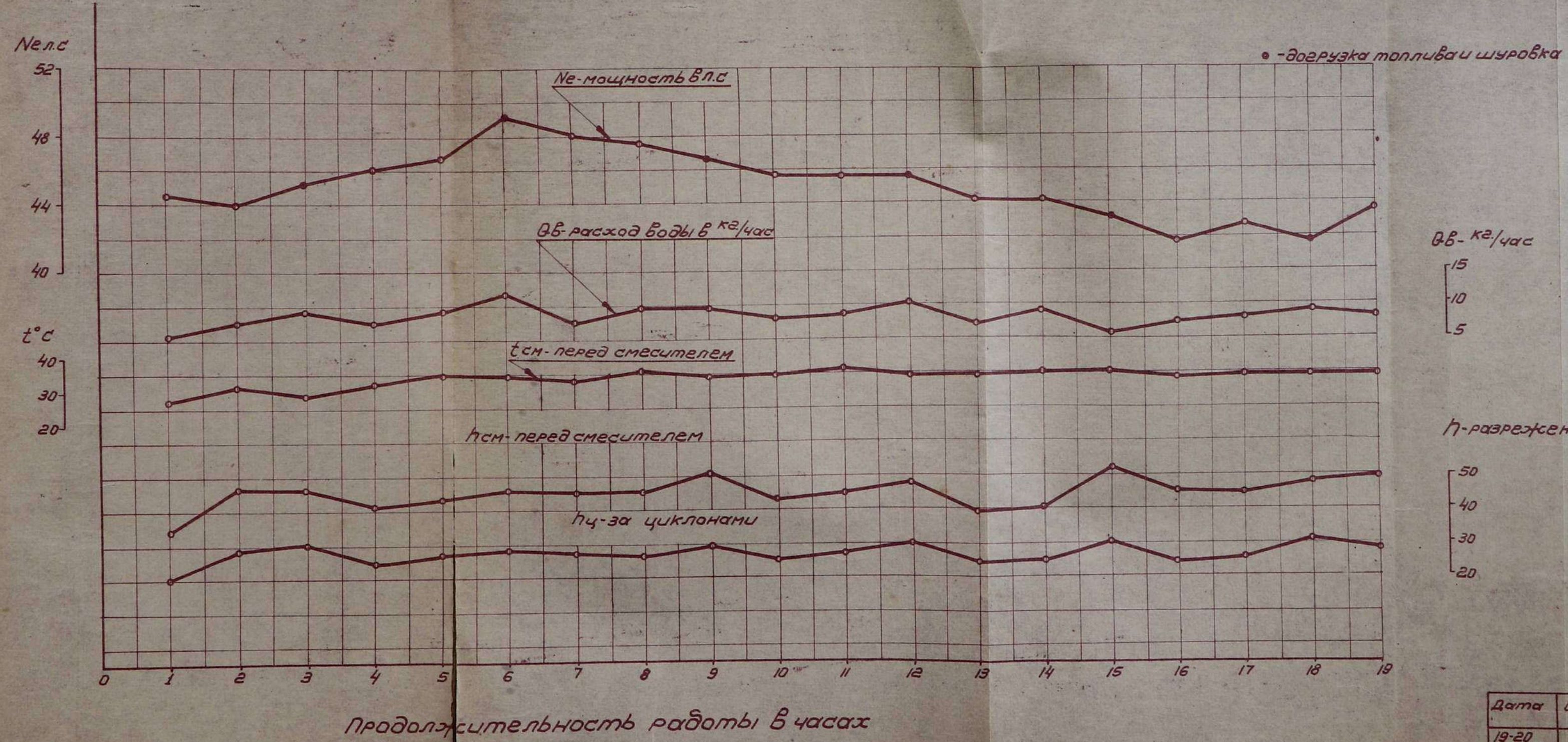


НАТИ

газогенераторный
отдел

изменение мощности двигателя газогенераторного трактора СХТЗ-НАТИ-Ч22 при продолжительном испытании газогенератора на каменноугольном полукоксе

Полевая группа
испытаний
тракторов



Дата	Испытания проводил	Ф
19-20 XI-49.	Мельникова	31